

Frankfurter Neuropsychologisches Testprofil (FNTF)

Normen

Dr. Michael O. Ruß

Stand 1. Januar 2009

Klinik für Neurologie im Klinikum der J. W. Goethe-Universität
Frankfurt am Main

<http://www.fntp.de>

Anhang A: Deskriptive Statistiken und Verteilungen

- A0 Deskriptive Statistik der 20 Testvariablen
- A1 Ravens's Standard Progressive Matrices (SPM)
- A2 Mehrfachwahl-Wortschatz-Intelligenztest (MWT-B)
- A3 Leistungs-Prüfsystem, Untertest 6 (LPS 6)
- A4 Token Test (TOK)
- A5 Zahlen-Verbindungs-Test (ZVT)
- A6 Closure Speed Test (CST)
- A7 Hooper Visual Organization Test (VOT)
- A8 Rey Complex Figure Test – Copy (CFT)
- A9 Rey Complex Figure Test – Memory (CFM)
- A10 Syndrom-Kurztest, Untertestsumme 1, 3, 7 (SKW)
- A11 Syndrom-Kurztest, Untertestsumme 4, 5, 6 (SKO)
- A12 Syndrom-Kurztest, Untertestsumme 2, 8, 9 (SKM)
- A13 Wechsler Memory Scale (WMS), Untertestsumme IV, V, VII
- A14 Tapping Test (TAP)
 - a) Summe Finger + Füße
 - b) Fingertapping getrennt
- A15 Purdue Pegboard (PPB)
- A16 Wiener Reaktionsgerät (WRG) – akustische Reaktion
- A17 Wiener Reaktionsgerät (WRG) – visuelle Reaktion
- A18 Wiener Reaktionsgerät (WRG) – Wahlreaktion
- A19 Wiener Determinationsgerät (WDG) - Aktionsmodus
- A20 Befindlichkeits-Skala (Bf-S)

Tabelle A0. Deskriptive Statistik der 20 Testvariablen

Rohwerte

Testvariable	N	Min.	Max.	M	SD	Schiefe	Exzess
SPM	1161	0	60	37,78	13,07	0,055	-0,857
MWT	1152	0	37	28,32	5,56	-1,366	3,121
LPS 6	1091	0	72	28,60	12,61	0,130	-0,284
TOK	1122	0	50	3,18	7,26	3,764	15,610
ZVT	1159	32	690	171,01	128,95	2,108	4,132
CST	1159	0	25	9,15	4,83	0,277	-0,622
VOT	1159	0	30	19,80	5,47	-0,847	0,455
CFT-C	1162	0	36	26,68	8,41	-1,421	1,396
CFT-M	1161	0	72	28,78	17,14	0,055	-0,857
SKW	1157	22	180	53,80	26,90	1,982	4,464
SKO	1157	28	180	75,87	35,17	1,462	1,517
SKM	1158	2	36	13,10	5,88	1,219	2,850
WMS	1157	0	55	32,51	10,68	-0,517	-0,347
TAP	1151	5	262	152,50	37,32	-0,432	0,269
PPB	1157	2	54	31,68	9,18	-0,593	0,090
RTA	1138	15	99	29,43	12,72	2,371	7,186
RTV	1139	18	99	32,95	12,37	2,480	7,904
RTW	1118	25	99	51,40	16,48	1,367	1,714
WDG	1162	0	460	248,94	101,16	-0,583	-0,414
BFS	1136	0	54	17,92	12,52	0,561	-0,497

T-Werte

	Gült. N	M	Min.	Max.	SD
TOK	1343	52,90	20	71	9,83
MWT	1344	51,62	20	80	10,95
SPM	1344	51,33	20	80	11,16
ZVT	1344	50,11	20	80	12,70
CST	1344	50,93	20	80	10,92
VOT	1344	51,72	20	80	10,74
LP6	1344	50,01	20	80	10,38
CFT	1344	50,64	20	80	11,95
CFM	1344	48,51	20	80	12,65
SKW	1344	50,51	20	80	10,96
SKO	1344	49,73	20	80	11,72
SKM	1344	51,46	20	80	11,01
WMS	1344	50,73	20	80	10,61
TAP	1344	50,65	20	80	10,00
PPB	1344	50,05	20	80	10,25
RTA	1344	50,42	20	77	10,74
RTV	1344	50,51	20	80	11,01
RTW	1344	48,73	20	80	11,71
WDG	1344	49,88	20	80	10,45
BFS	1344	50,85	20	80	10,10

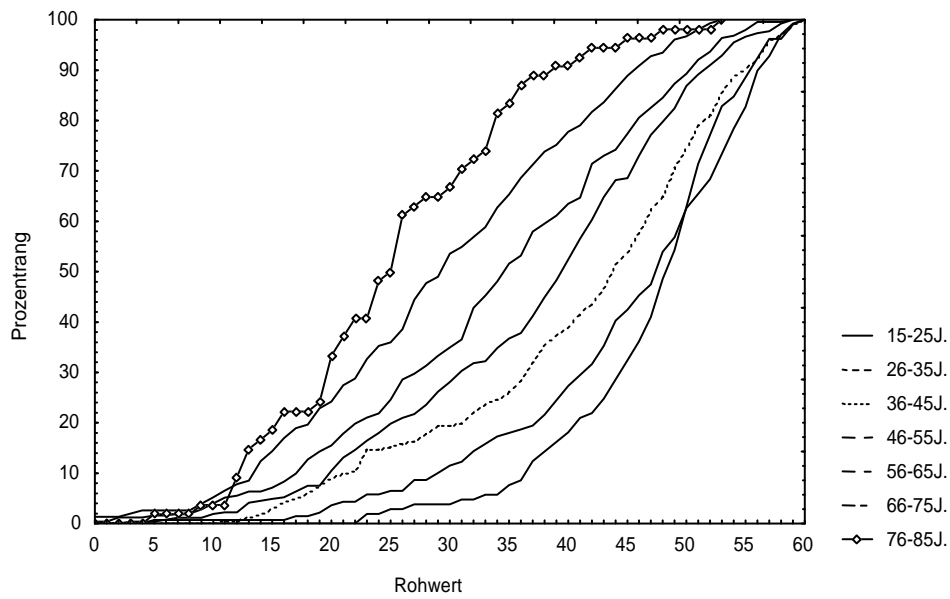
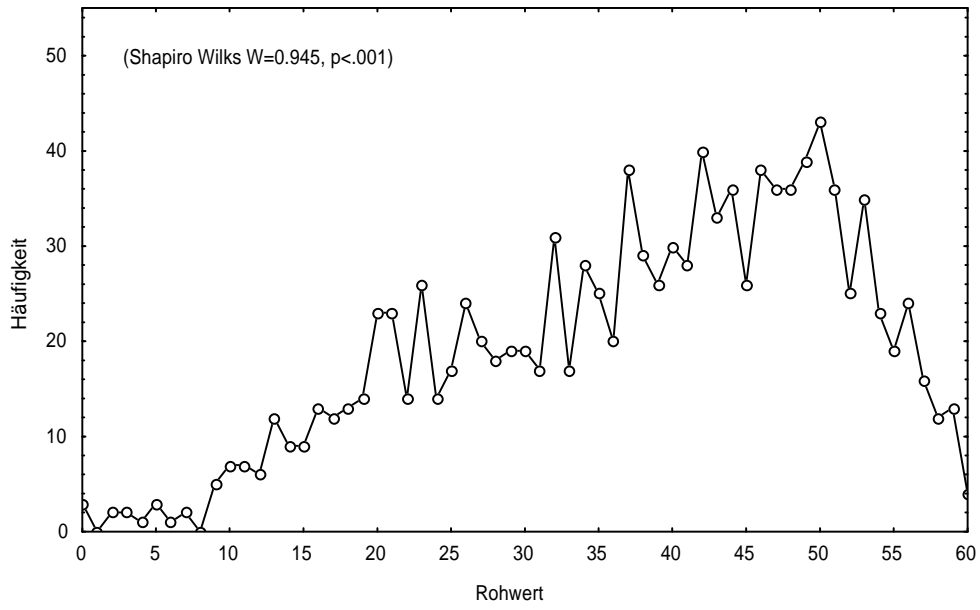


Abbildung A1. Raven Standard Progressive Matrices (SPM). Rohwertverteilung insgesamt (oben) und Prozentrangverteilungen in den Altersgruppen (unten)

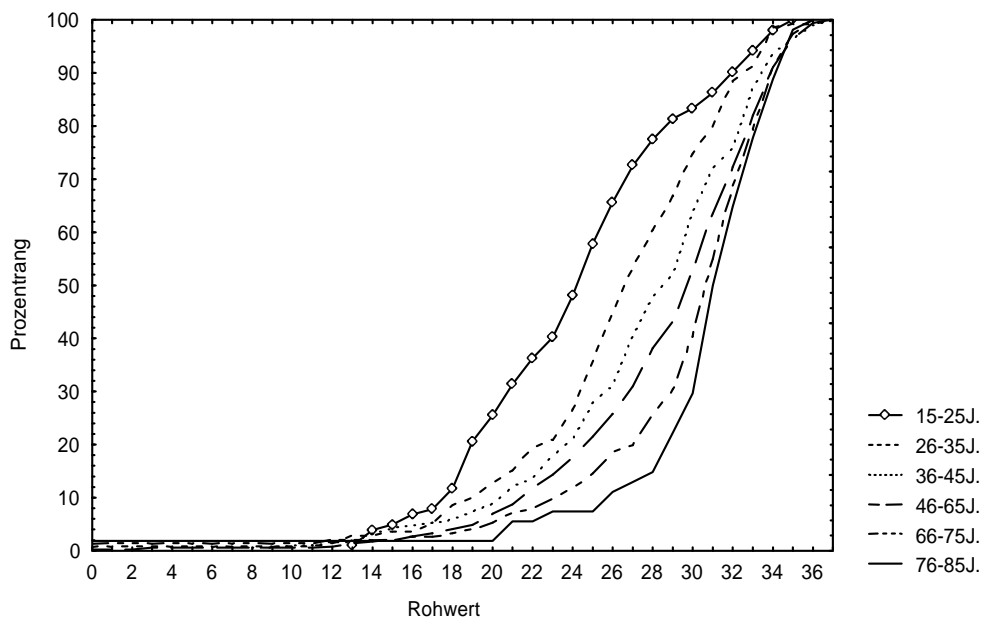
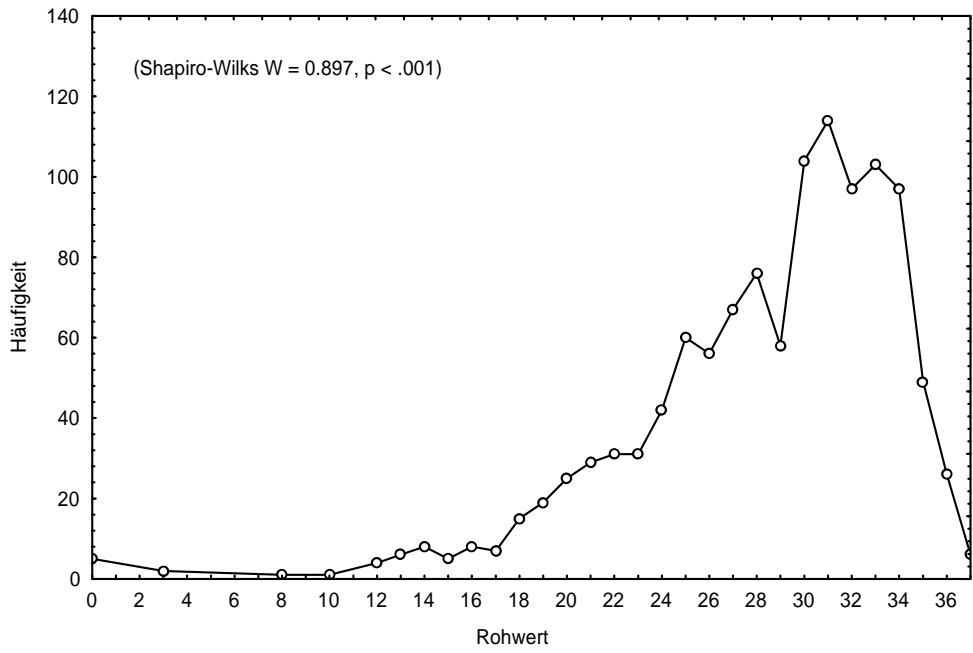


Abbildung A2. Mehrfachwahl-Wortschatz-Intelligenztest (MWT-B). Rohwertverteilung insgesamt (oben) und Prozentrangverteilungen in den Altersgruppen (unten).

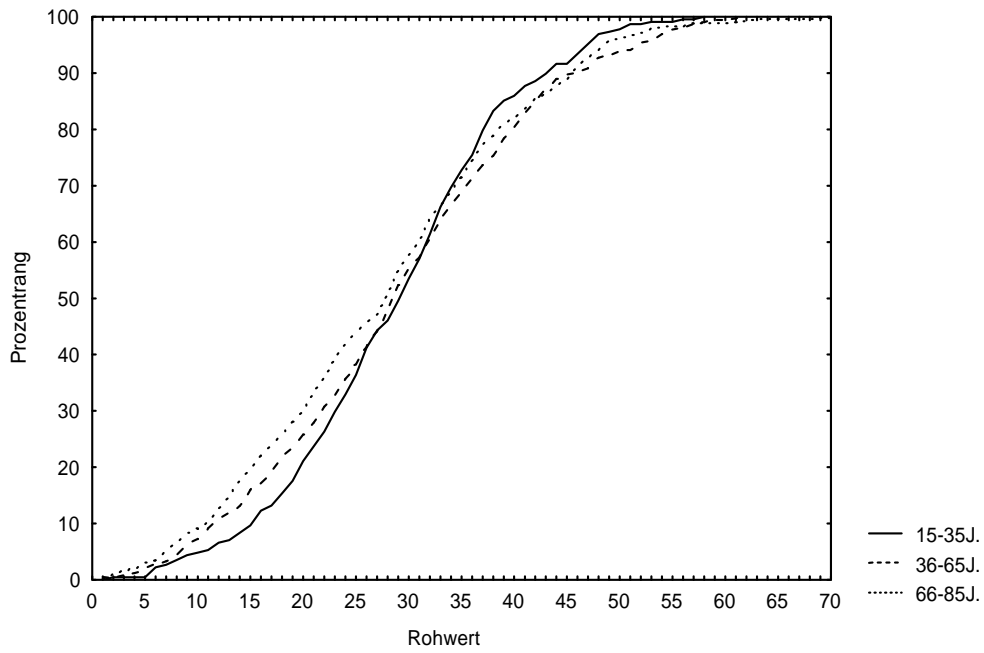
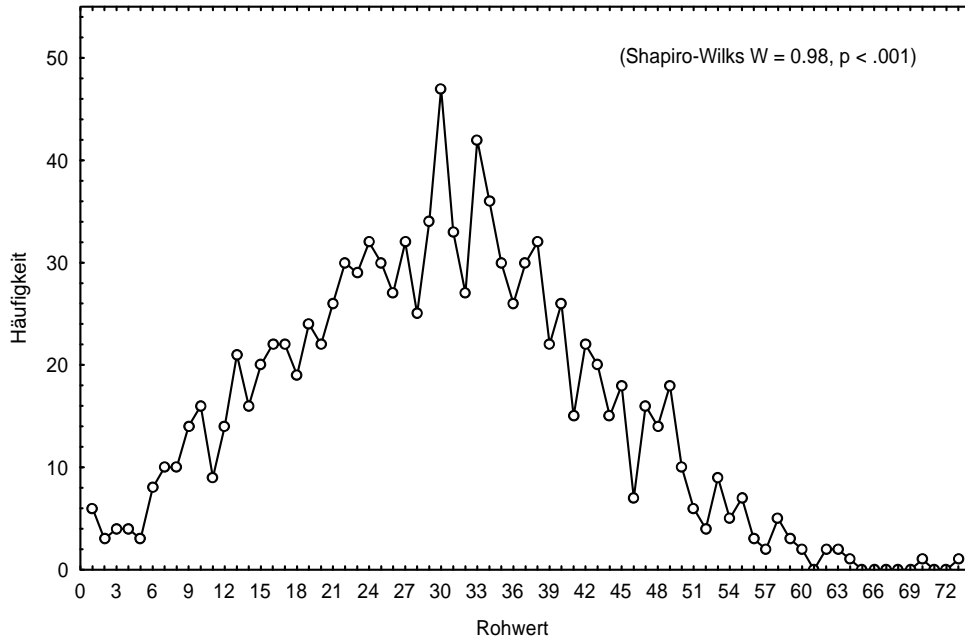


Abbildung A3. Leistungsprüfsystem - Untertest LPS 6. Rohwertverteilung insgesamt (oben) und Prozentrangverteilungen in den Altersgruppen (unten).

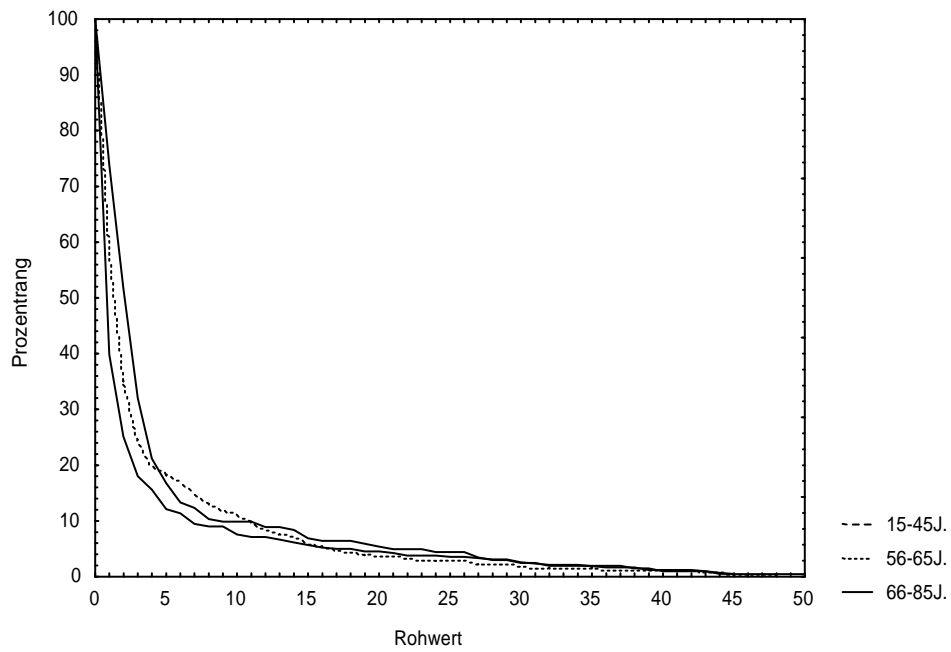
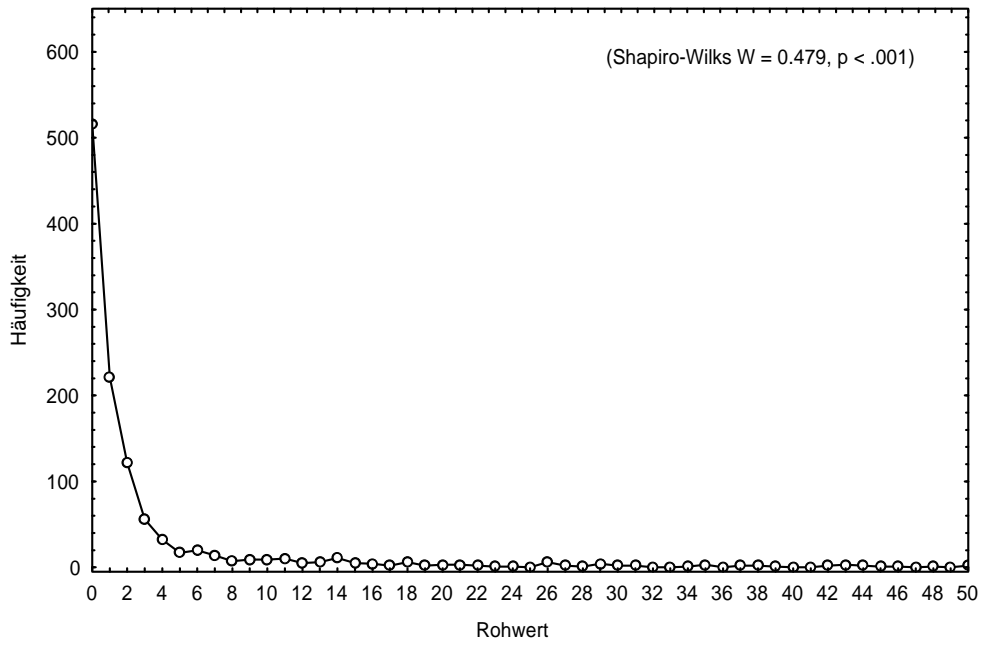


Abbildung A4. Token Test (TOK). Rohwertverteilung insgesamt (oben) und Prozentrangverteilungen in den Altersgruppen (unten).

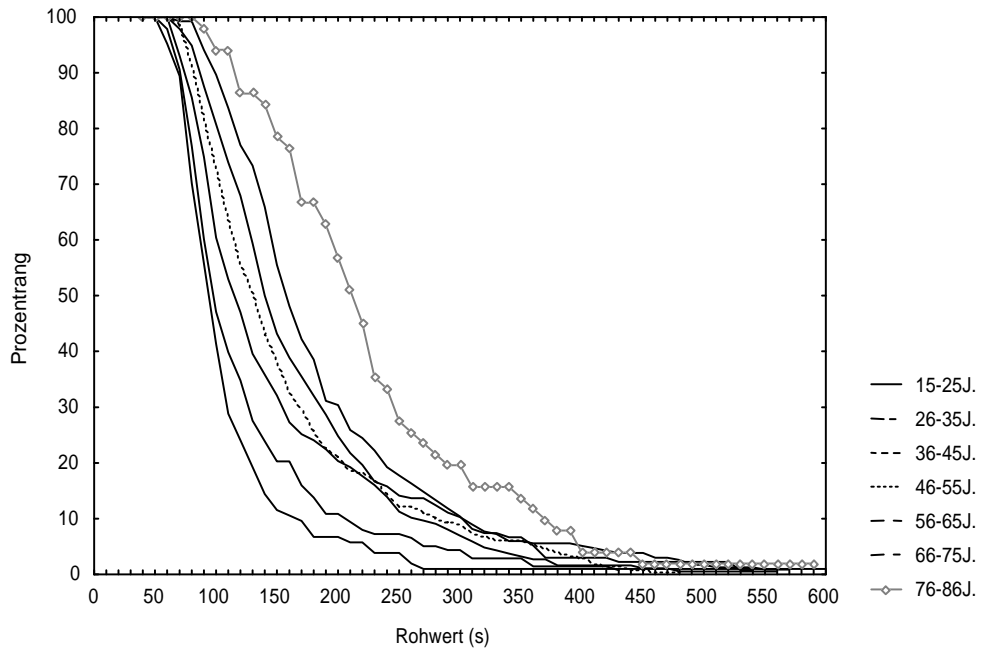
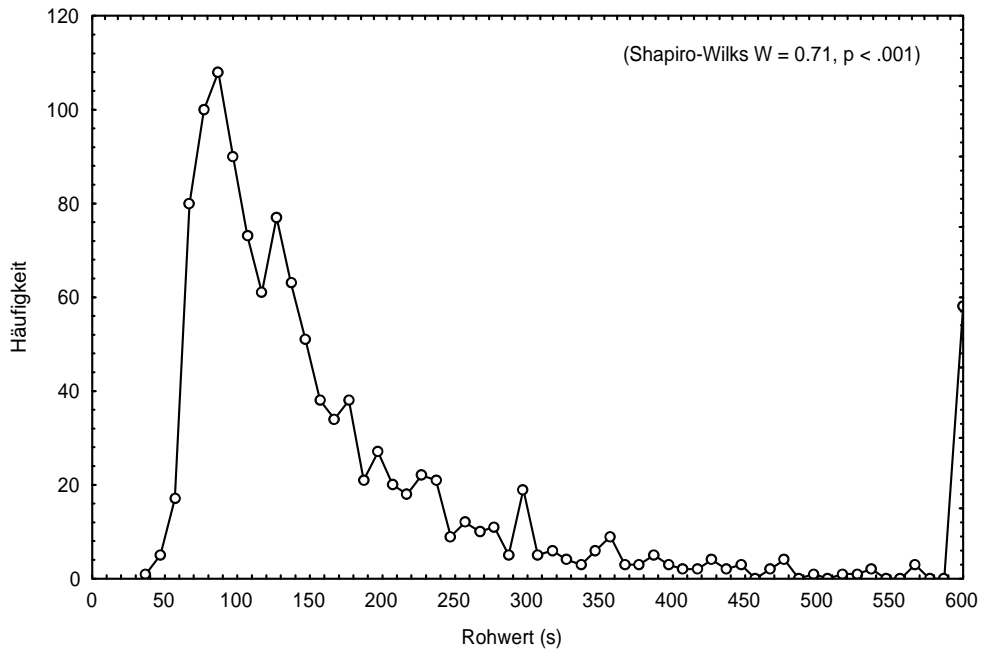


Abbildung A5. Zahlen-Verbindungs-Test (ZVT). Rohwertverteilung insgesamt (oben) und Prozentrangverteilungen in den Altersgruppen (unten).

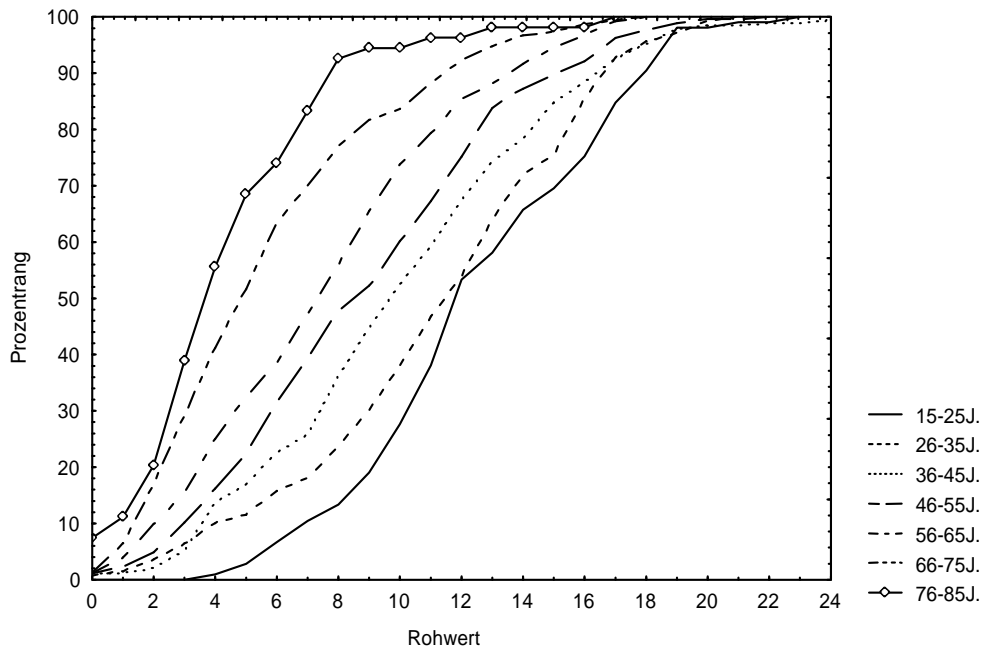
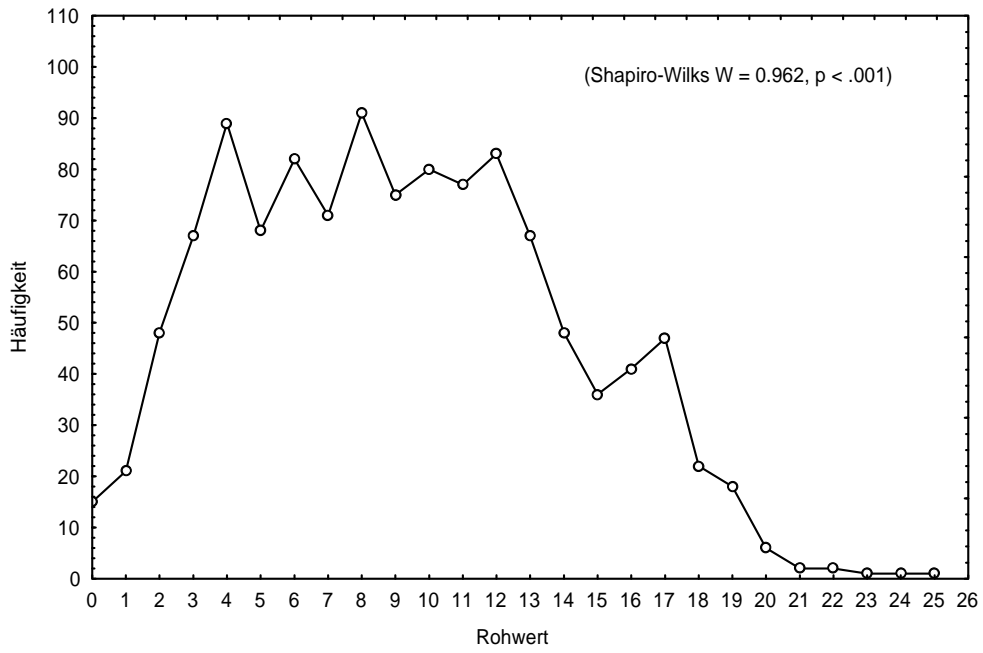


Abbildung A6. Closure Speed Test (CST). Rohwertverteilung insgesamt (oben) und Prozentrangverteilungen in den Altersgruppen (unten).

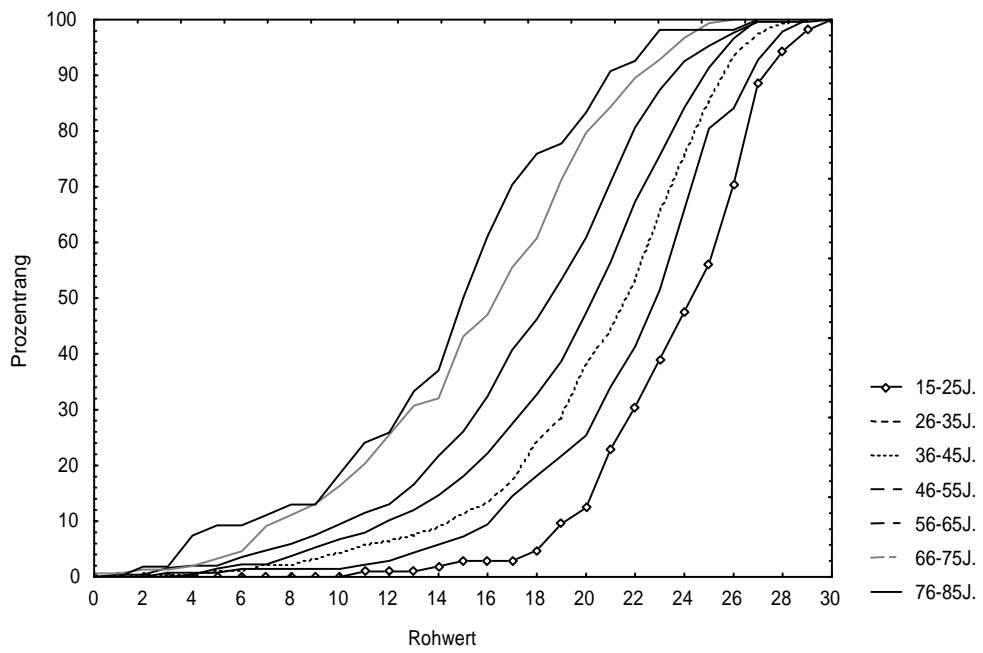
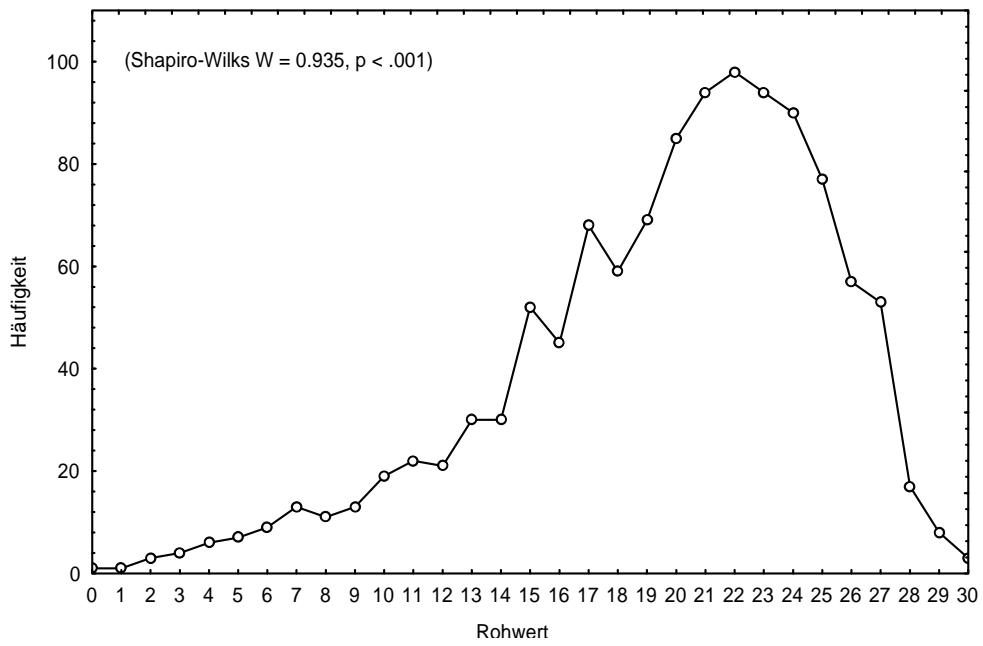
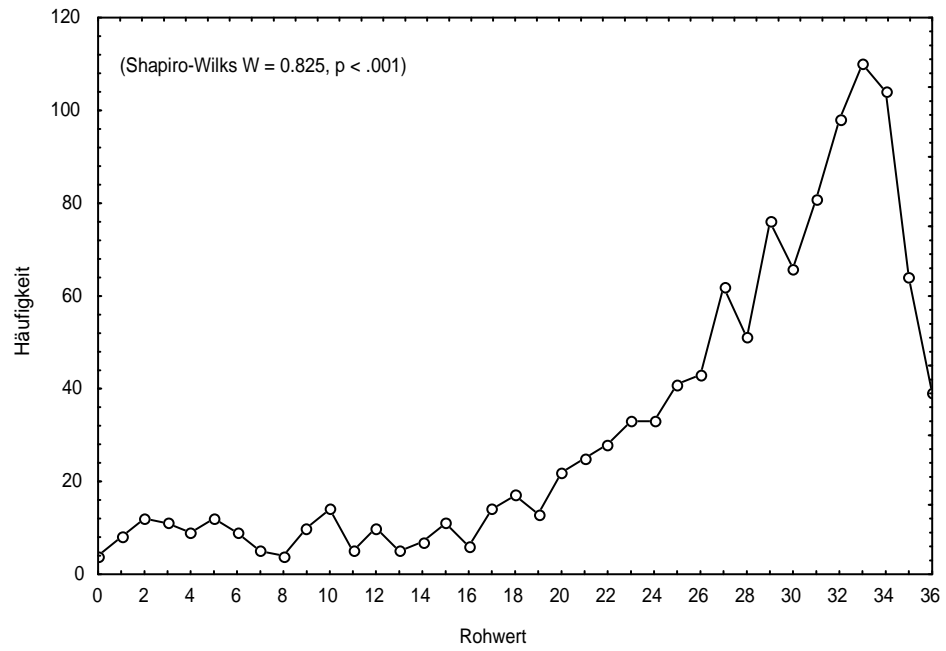


Abbildung A7. Hooper Visual Organization Test (VOT). Rohwertverteilung insgesamt (oben) und Prozentrangverteilungen in den Altersgruppen (unten).



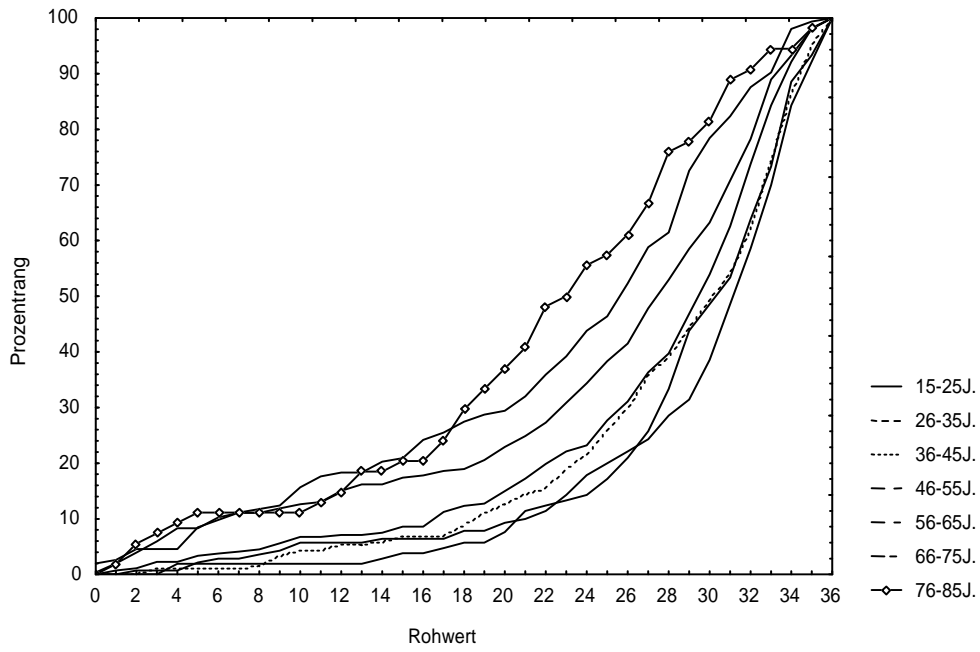


Abbildung A8. Rey Complex Figure Test - Abzeichnen (CFT). Rohwertverteilung insgesamt (oben) und Prozentrangverteilungen in den Altersgruppen (unten).

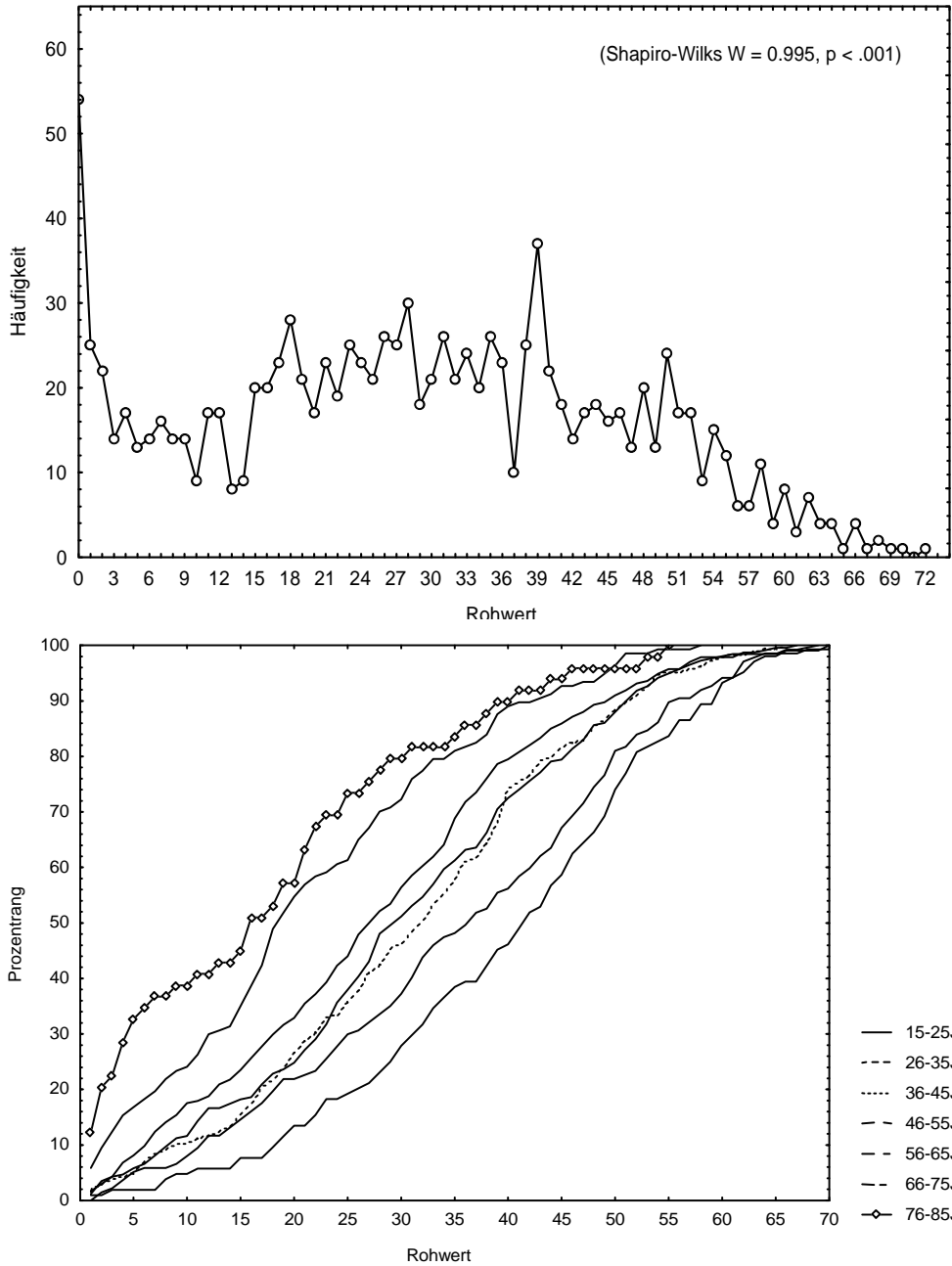
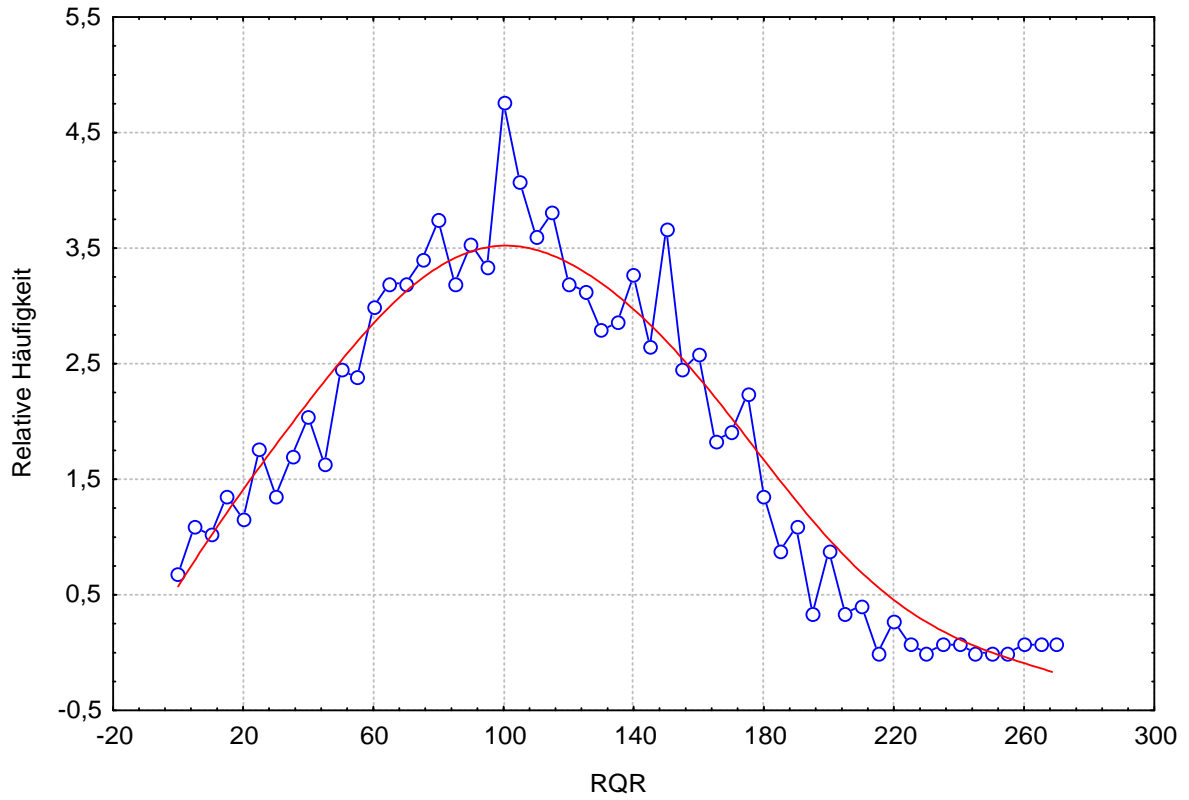
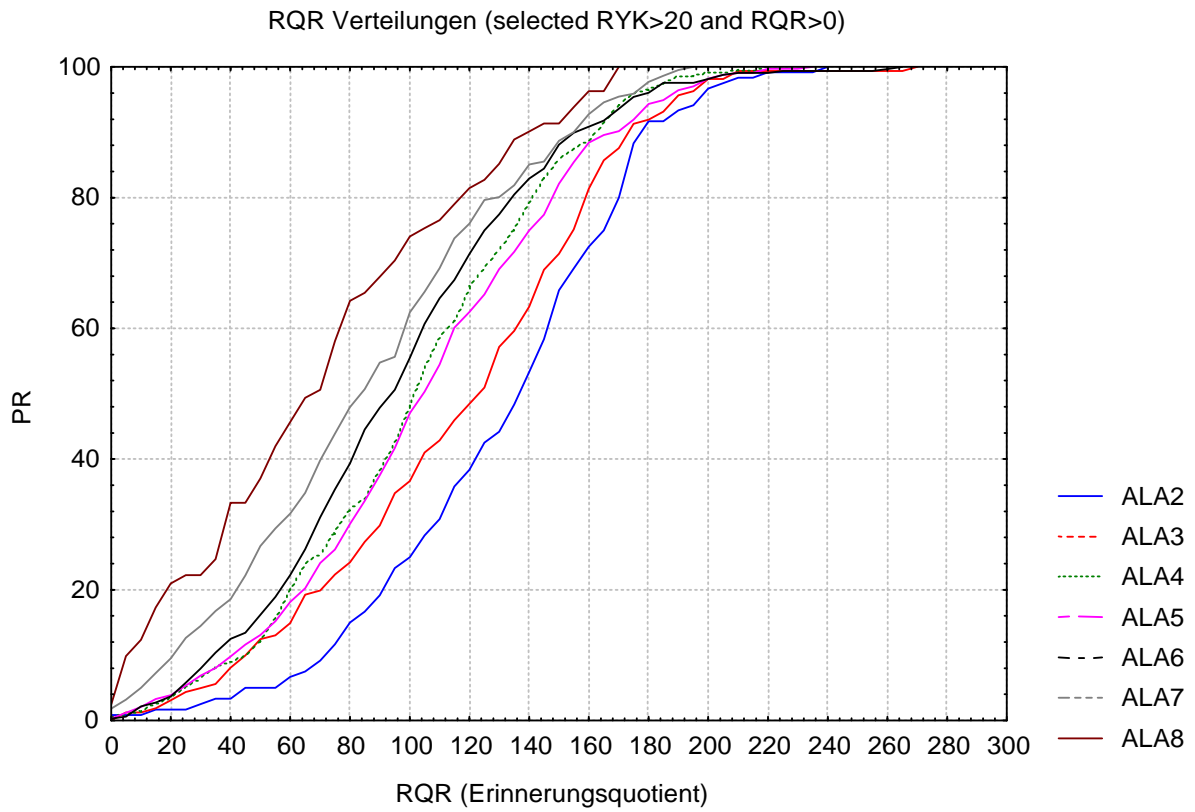


Abbildung A9. Rey Complex Figure Test - Memory (CFM). Rohwertverteilung insgesamt (oben) und Prozentrangverteilungen in den Altersgruppen (unten).



Verteilung CFT-Memory-Quotient (selection RQR>0 and RYK>20), Gesamtgruppe



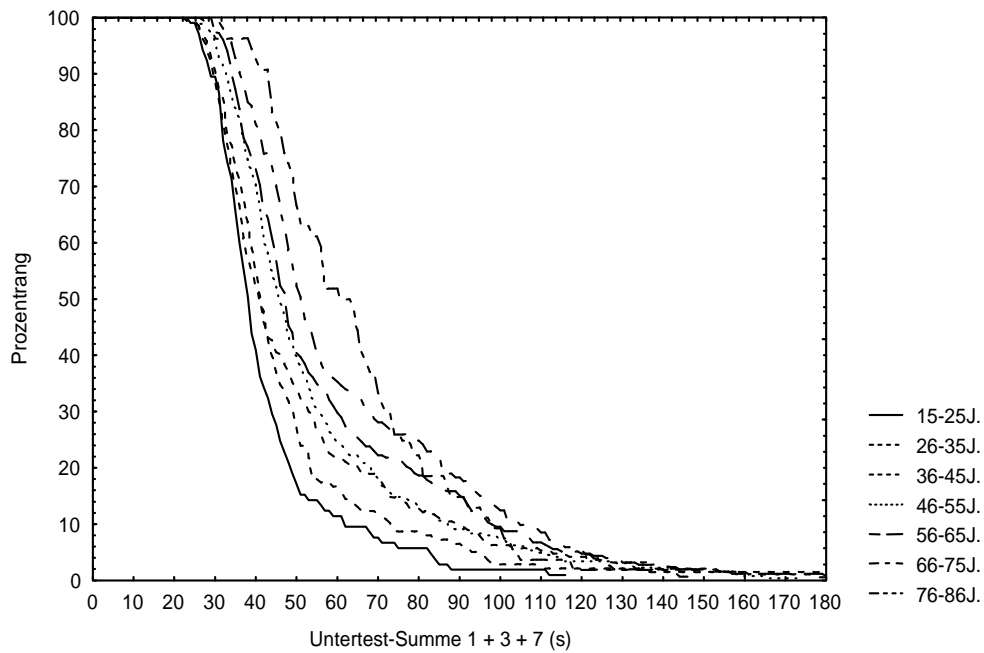
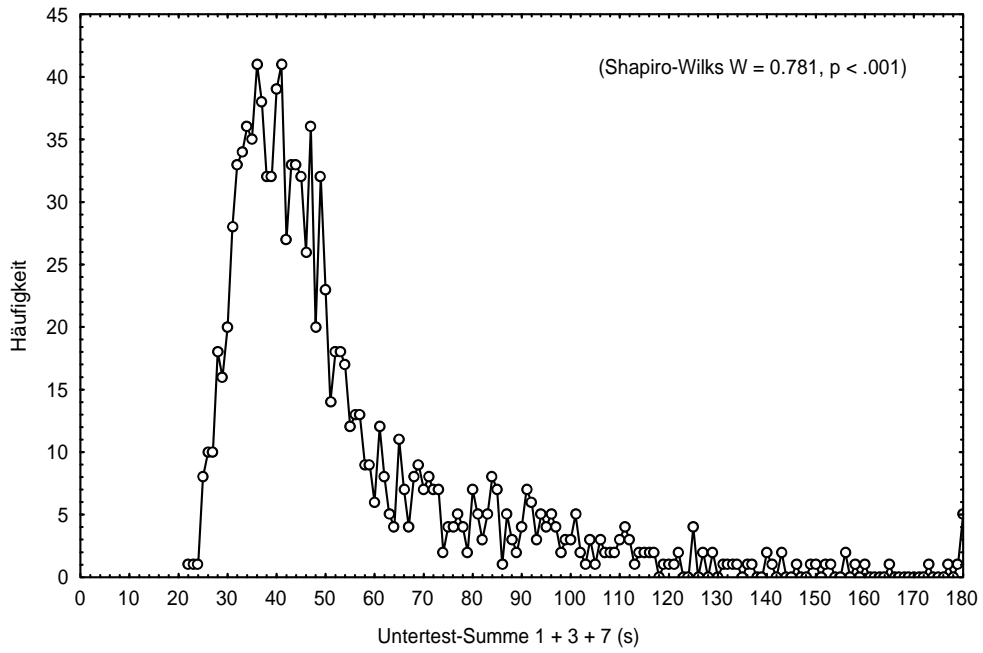


Abbildung A10. Syndrom-Kurztest (SKT-A) - Summe der Untertests 1 + 3 + 7 (SKW). Rohwertverteilung insgesamt (oben) und Prozentrangverteilungen in den Altersgruppen (unten).

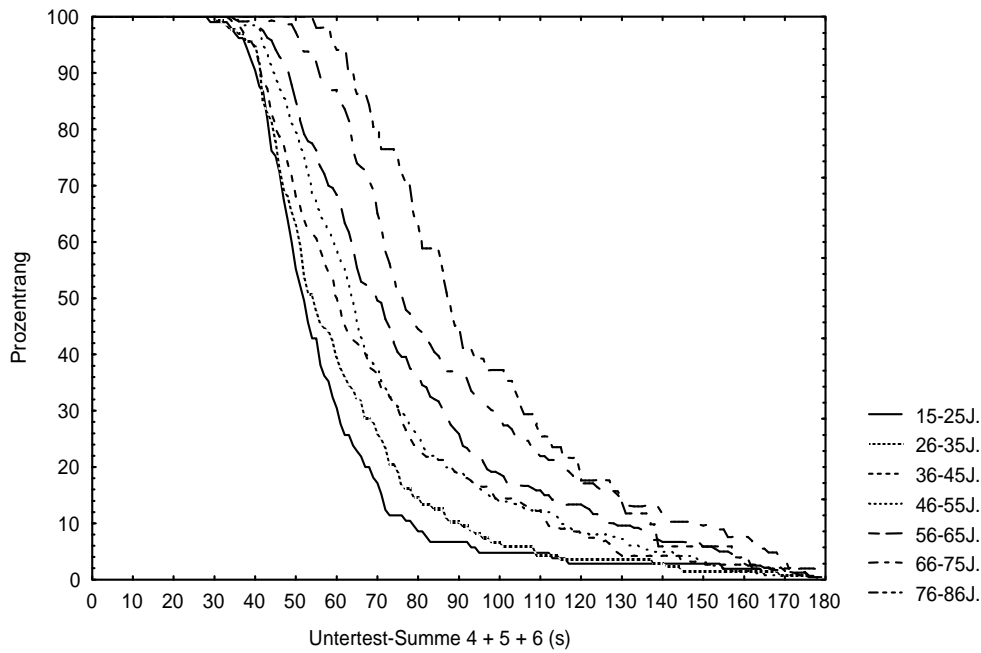
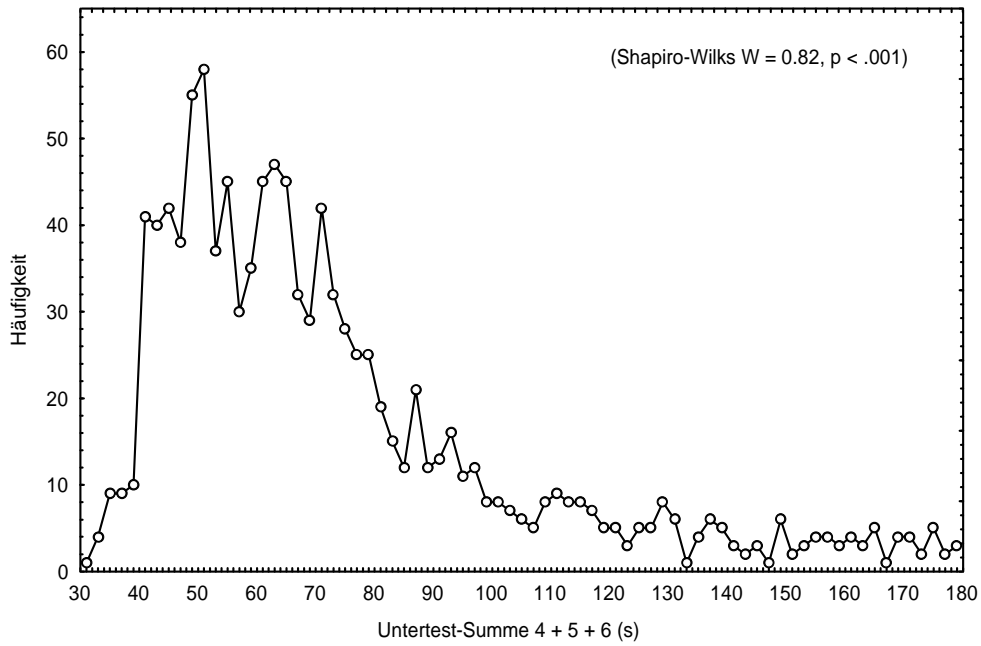


Abbildung A11. Syndrom-Kurztest (SKT-A) - Summe der Untertests 4 + 5 + 6 (SKO). Rohwertverteilung insgesamt (oben) und Prozentrangverteilungen in den Altersgruppen (unten).

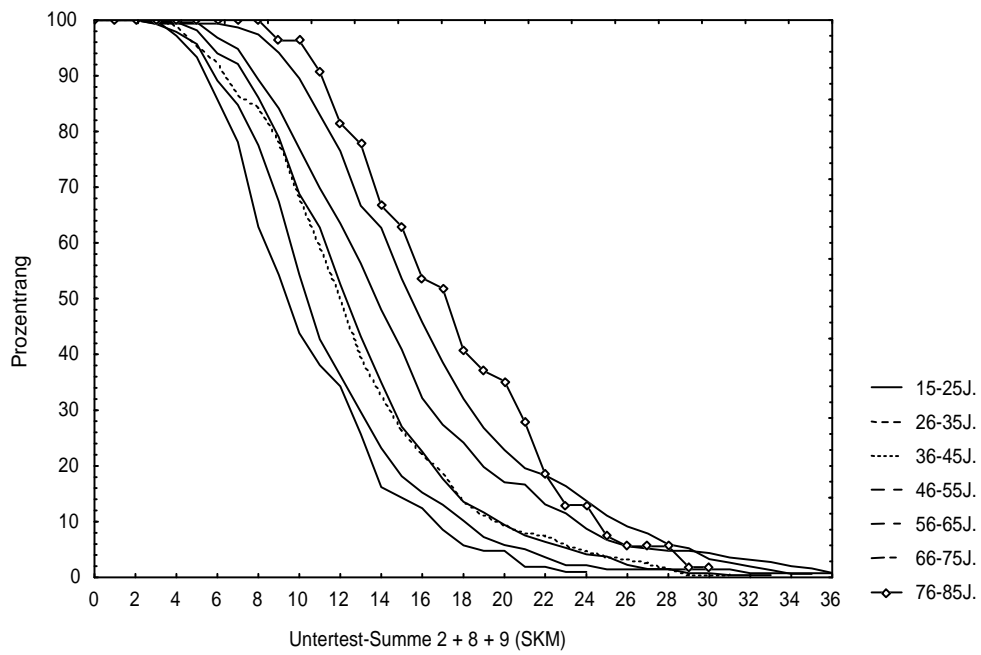
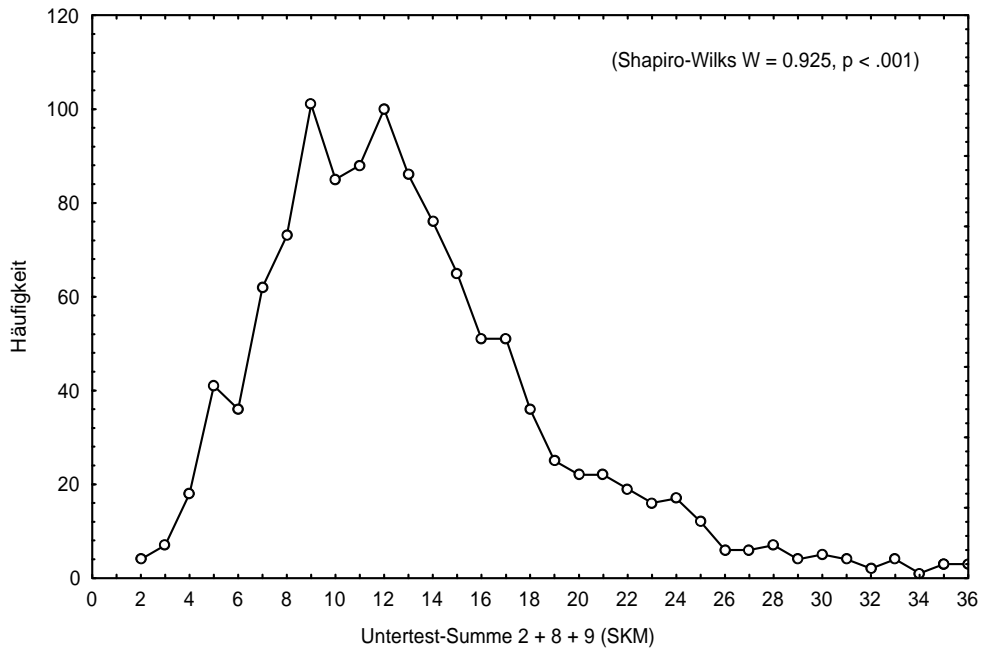


Abbildung A12. Syndrom-Kurztest (SKT-A) - Untertests 2 + 8 + 9 (SKM). Rohwertverteilung insgesamt (oben) und Prozentrangverteilungen in den Altersgruppen (unten).

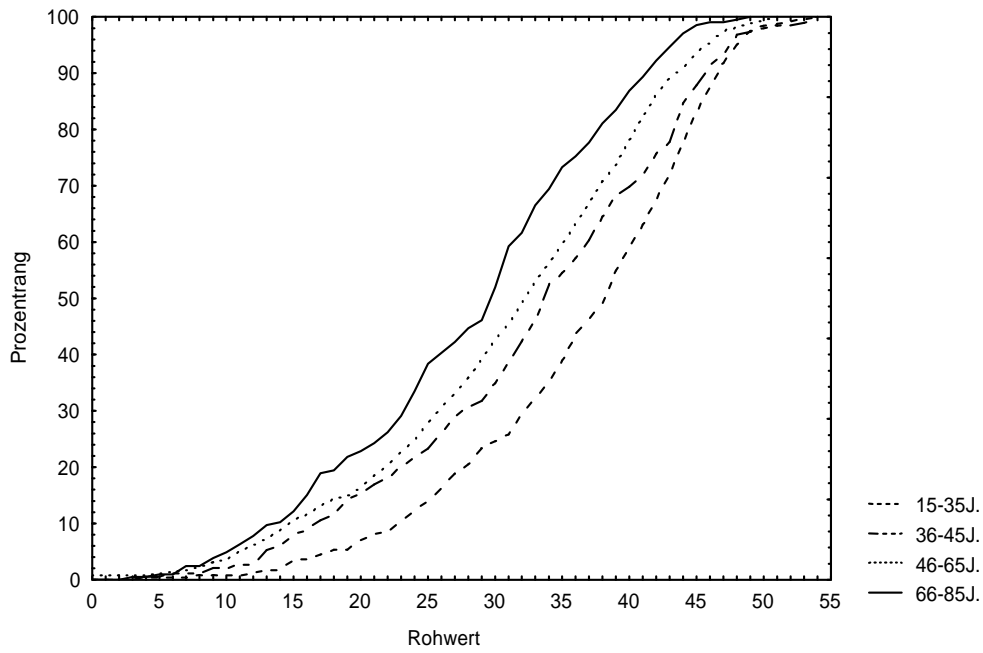
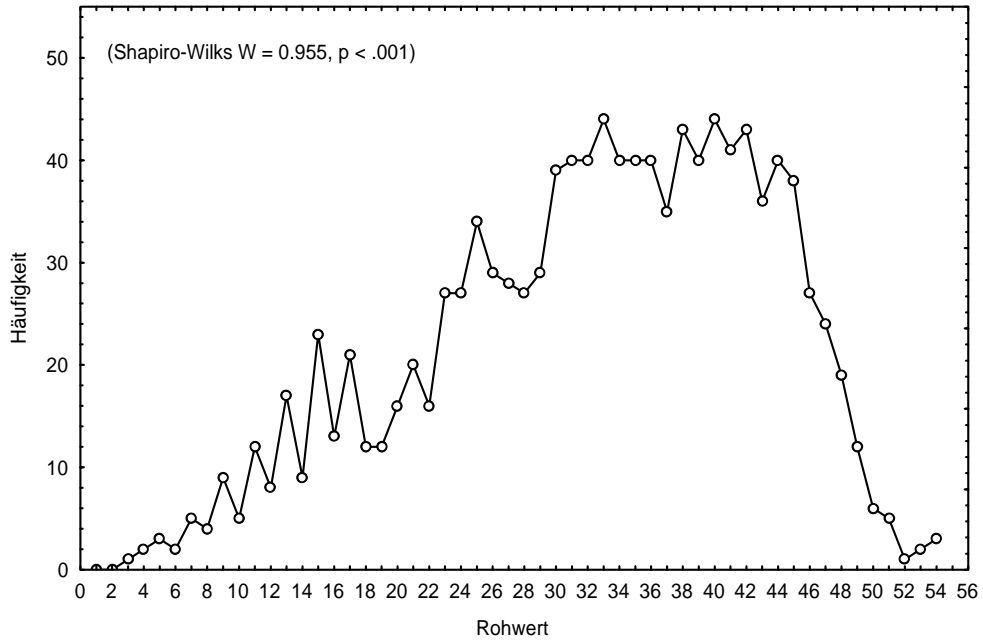


Abbildung A13. Wechsler Memory Scale - Untertests IV, V, VII (WMS). Rohwertverteilung insgesamt (oben) und Prozentrangverteilungen in den Altersgruppen (unten).

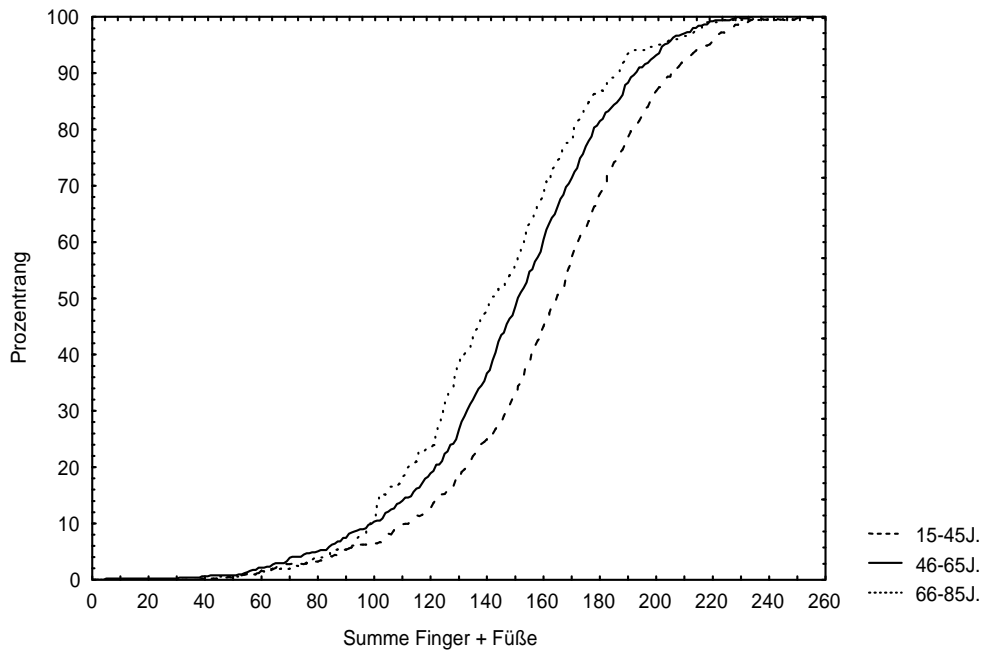
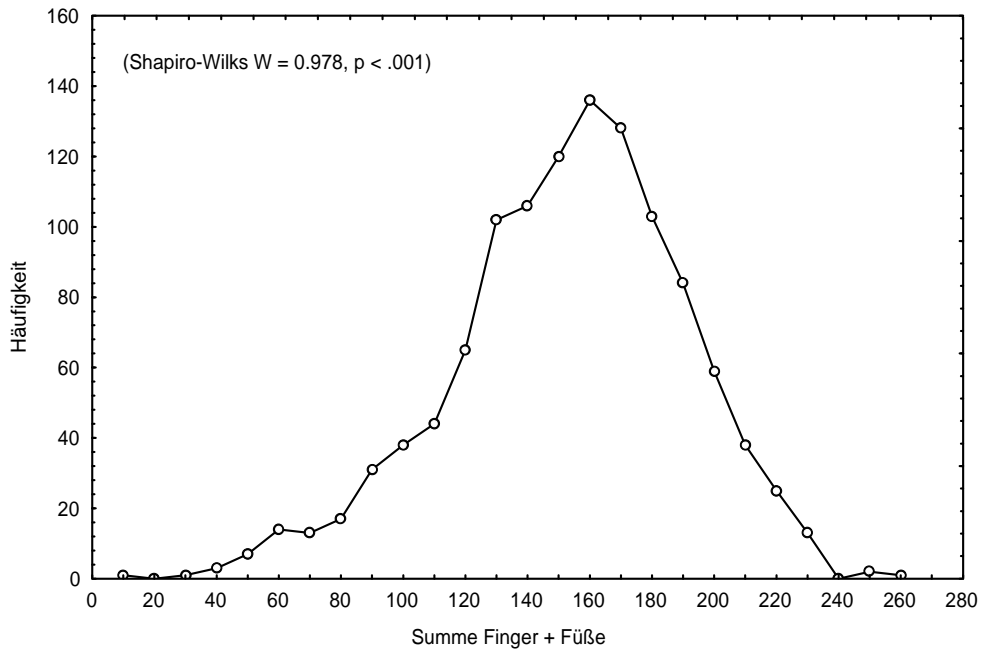


Abbildung A14a. Tapping Test (Summe Zeigefinger + Füße, beide Seiten / TAP). Rohwertverteilung insgesamt (oben) und Prozentrangverteilungen in den Altersgruppen (unten).

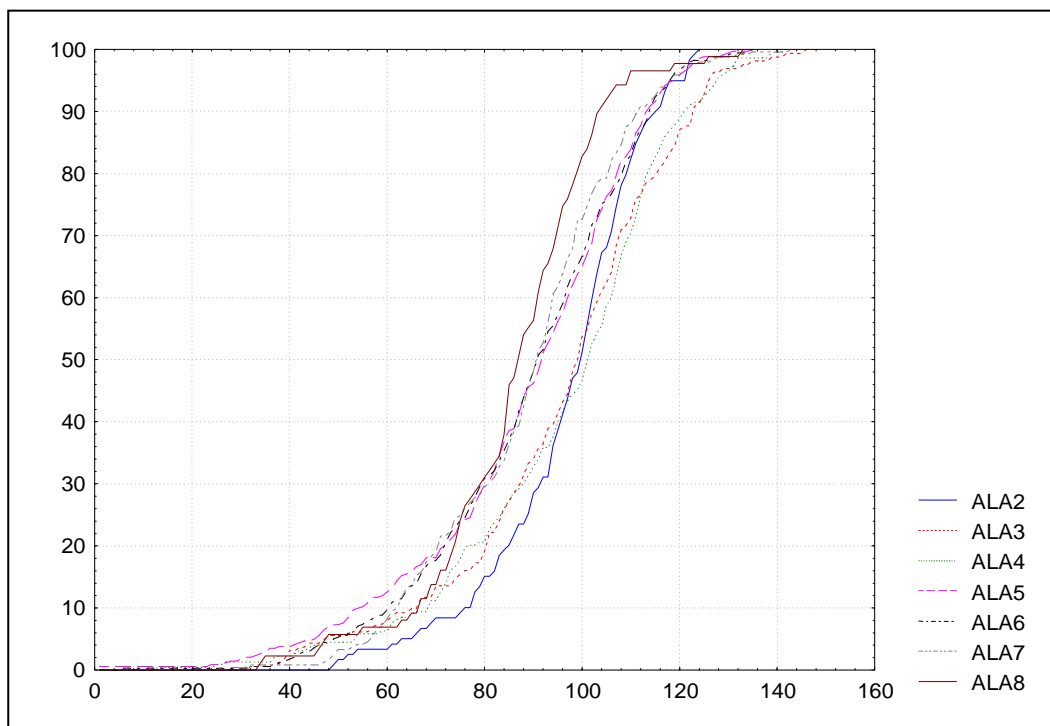
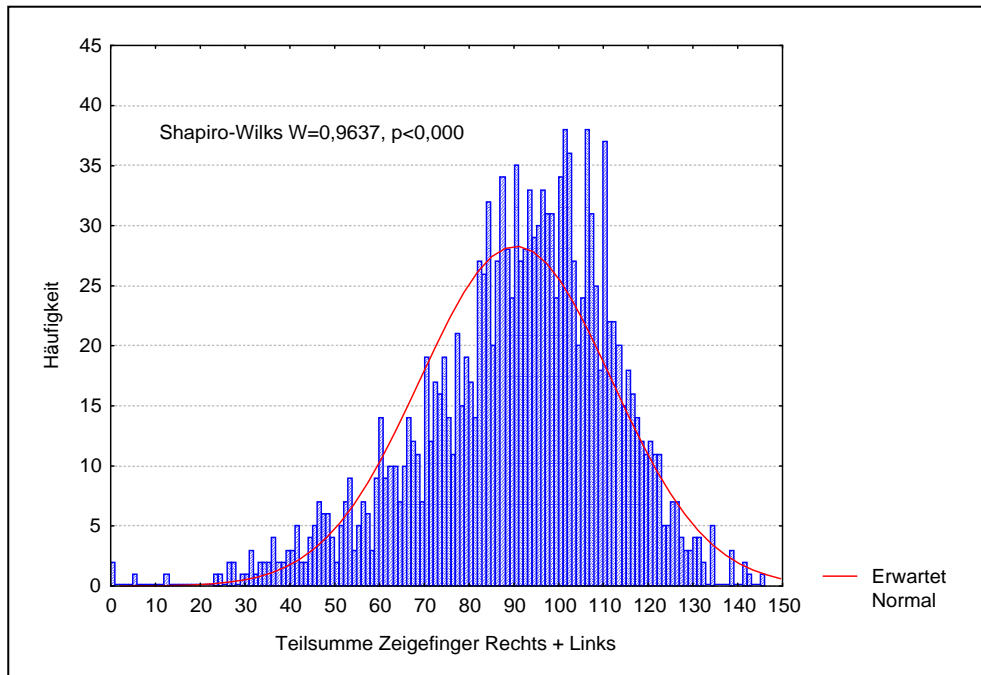


Abbildung 14b. Finger-Tapping (nur Zeigefinger, Summe rechts + links, TAF). Rohwertverteilung insgesamt (oben) und Prozentrangverteilungen in den Altersgruppen (unten).

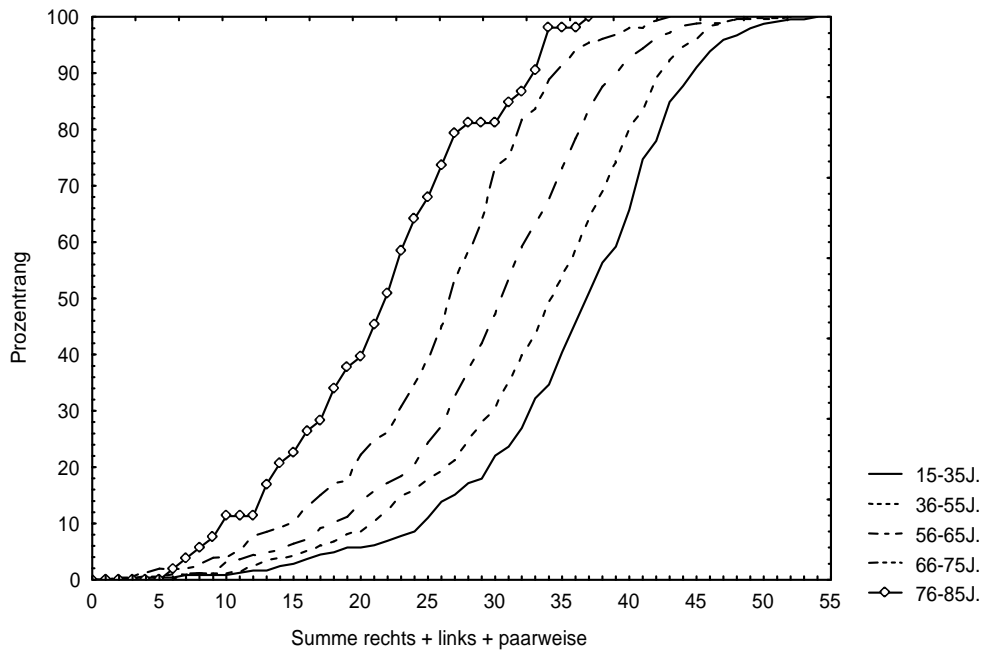
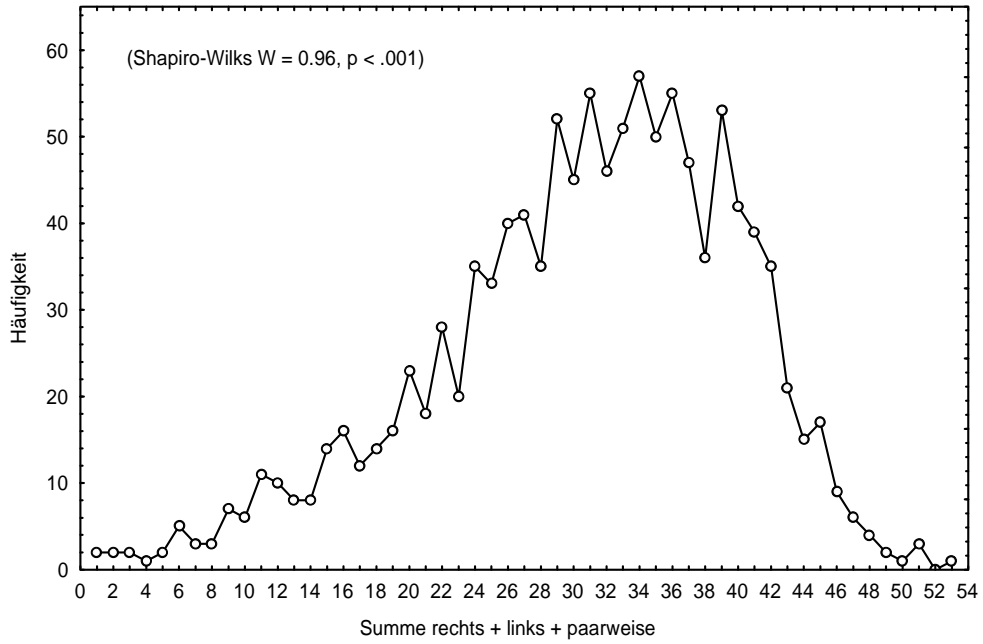


Abbildung A15. Purdue Pegboard (PPB). Rohwertverteilung insgesamt (oben) und Prozentrangverteilungen in den Altersgruppen (unten).

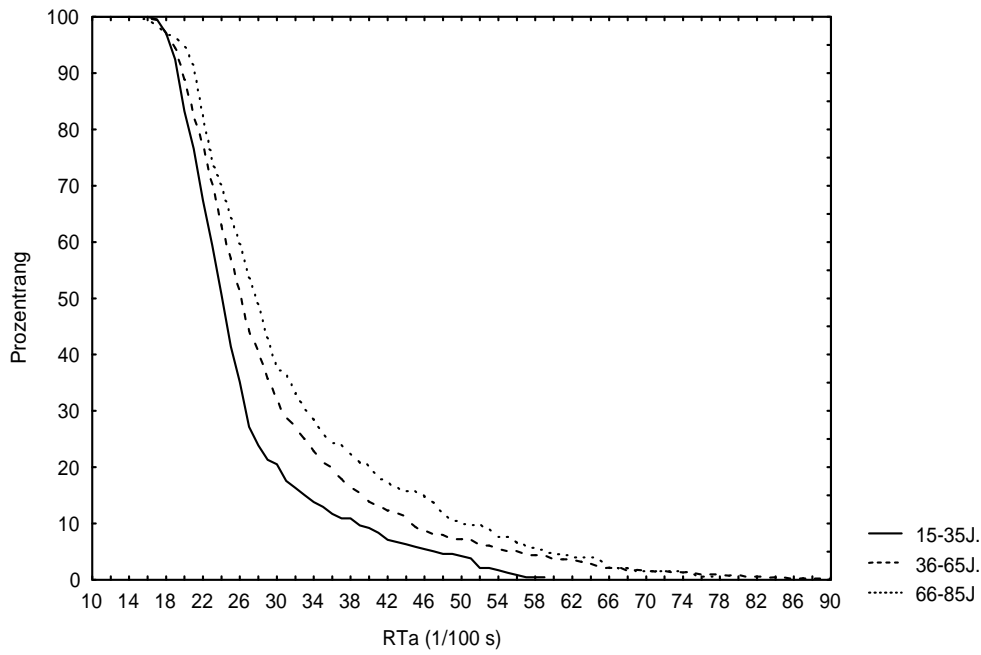
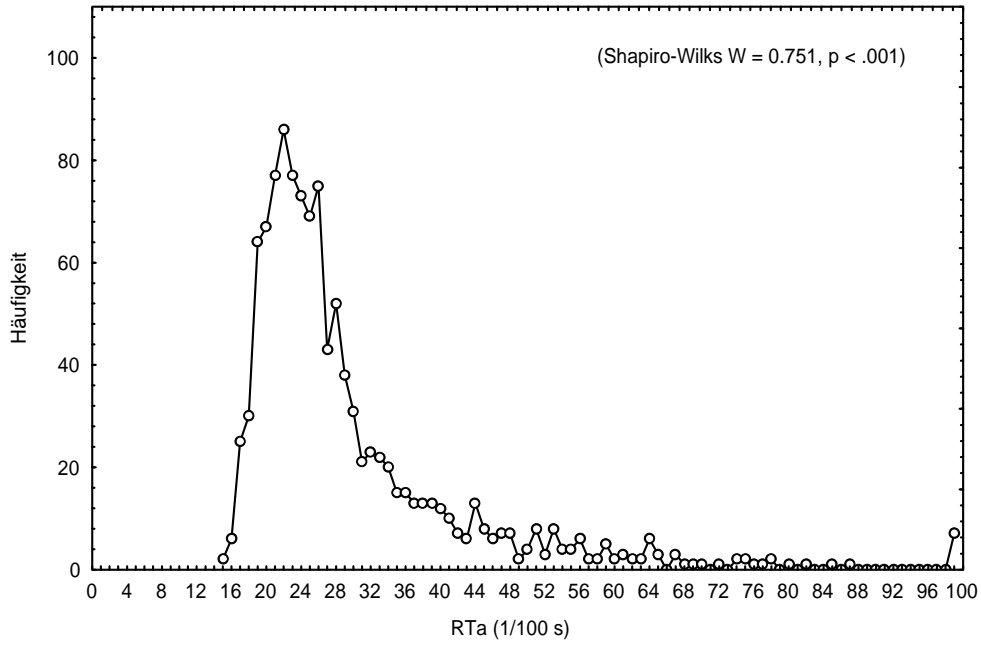


Abbildung A16. Wiener Reaktionsgerät - akustische Reaktionszeit (RTa). Rohwertverteilung insgesamt (oben) und Prozentrangverteilungen in den Altersgruppen (unten).

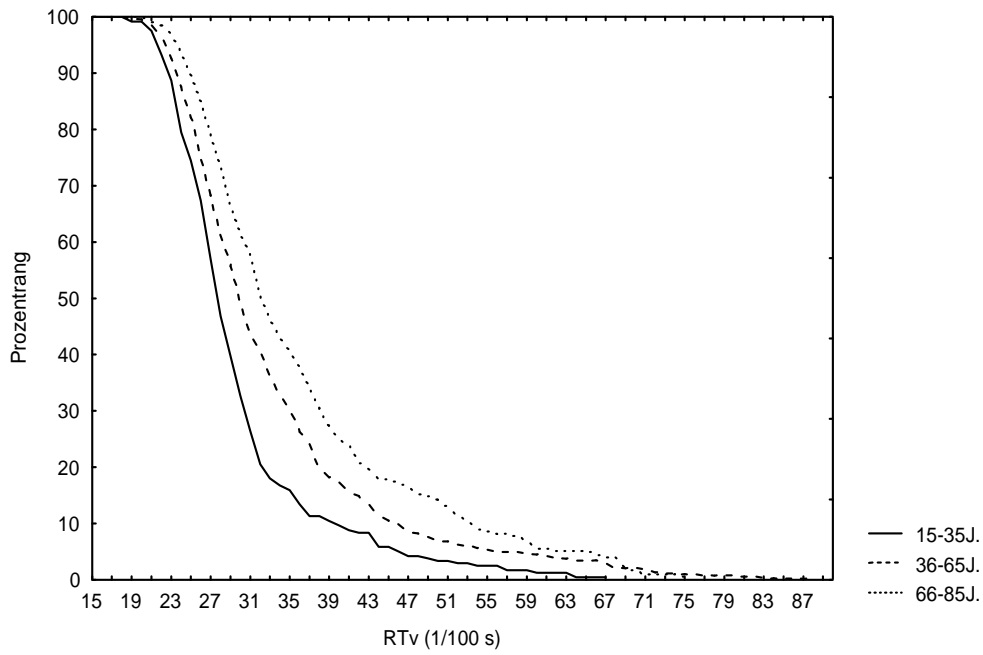
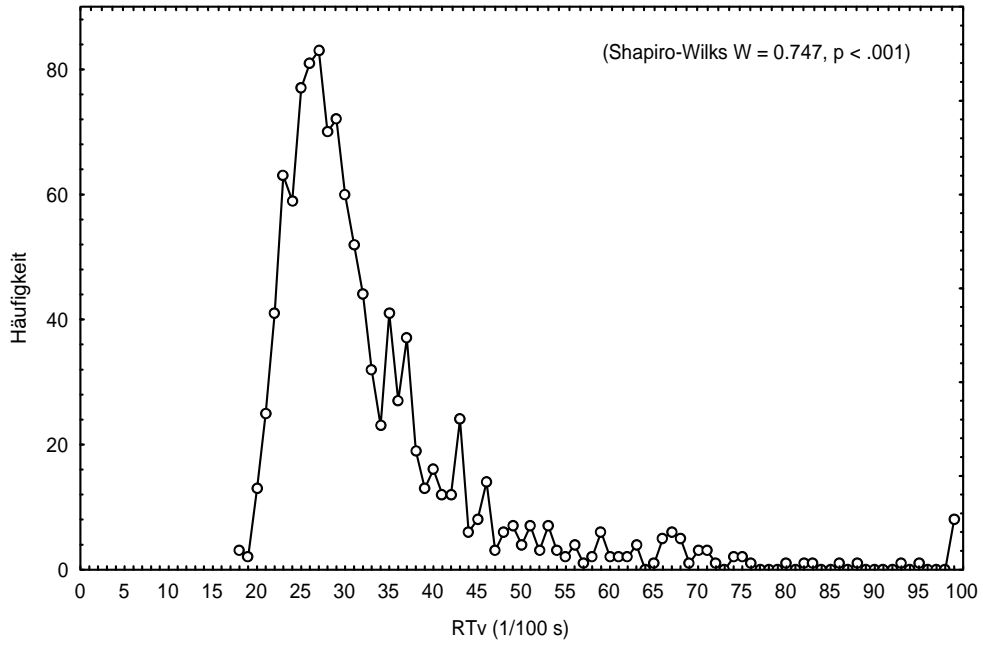


Abbildung A17. Wiener Reaktionsgerät - visuelle Reaktionszeit (RTv). Rohwertverteilung insgesamt (oben) und Prozentrangverteilungen in den Altersgruppen (unten).

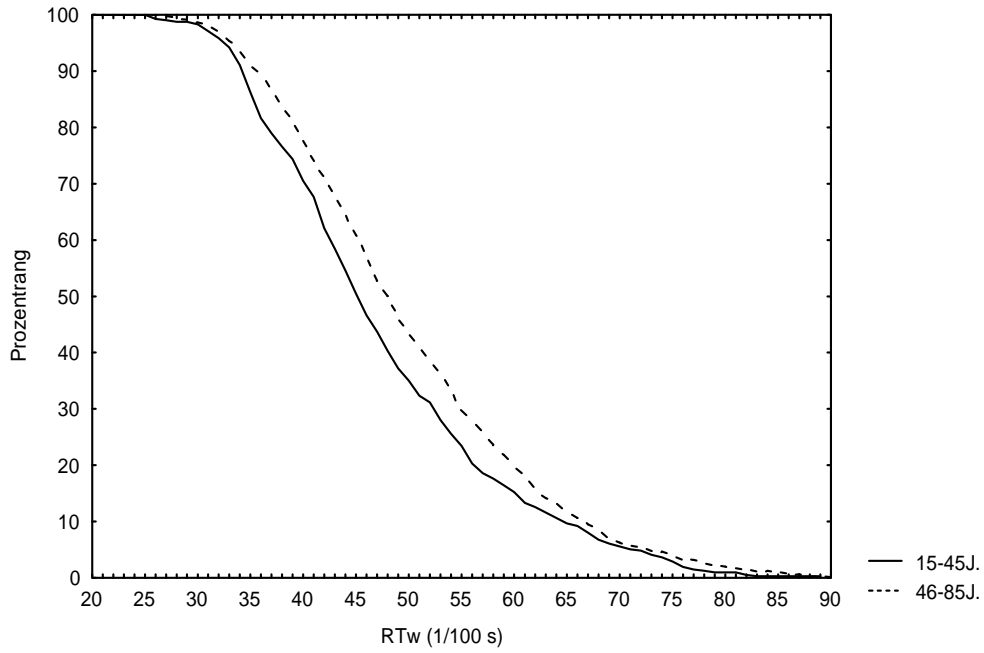
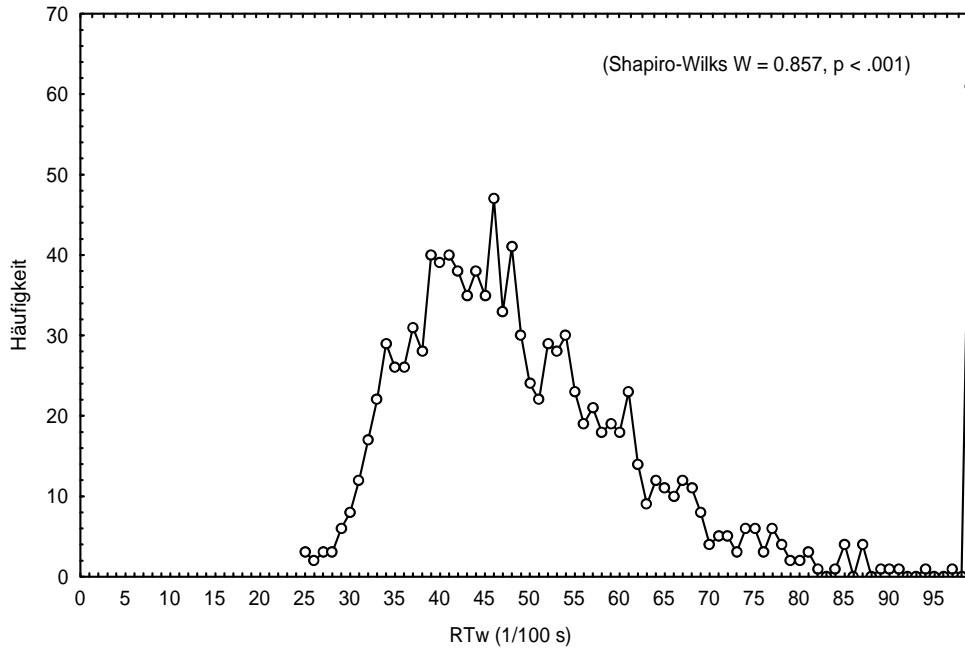


Abbildung A18. Wiener Reaktionsgerät - Wahlreaktion (RTw). Darstellung für Reaktionszeiten unter 90/100 Sekunden. Rohwertverteilung insgesamt (oben) und Prozentrangverteilungen in den Altersgruppen (unten).

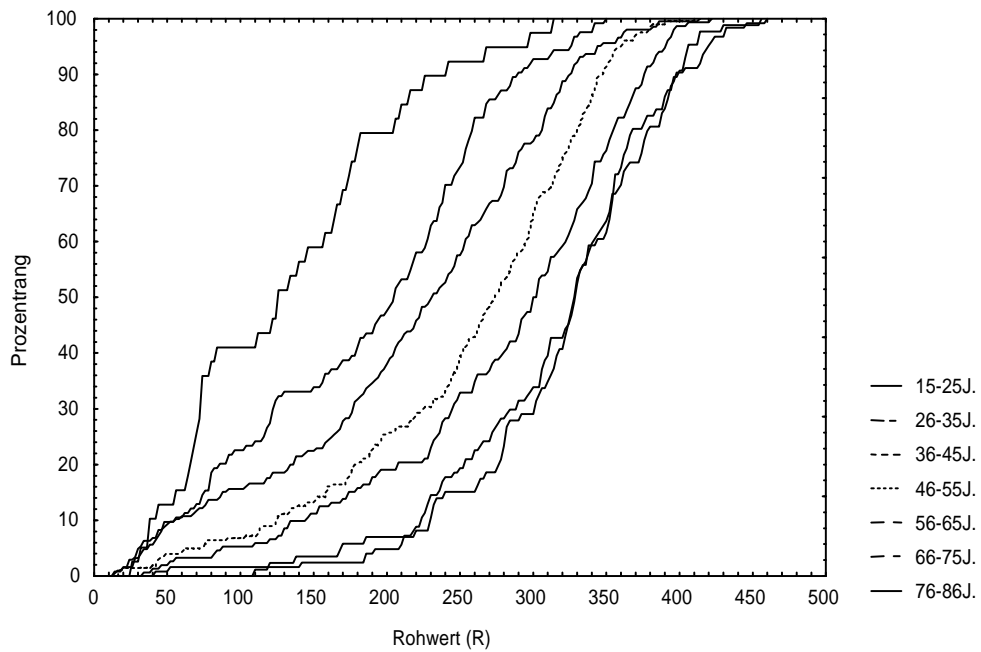
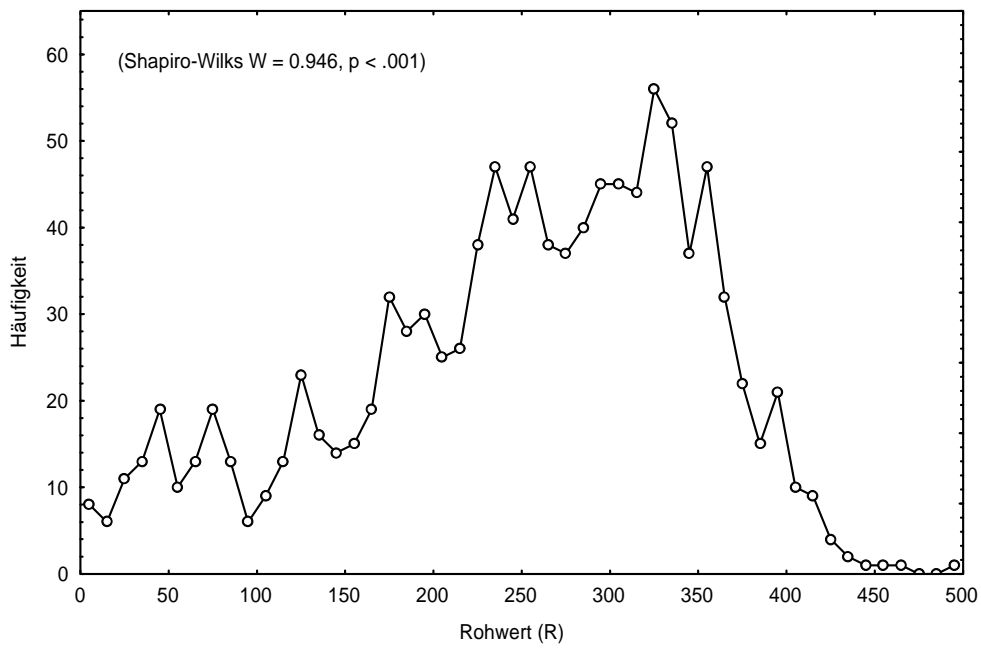


Abbildung A19. Wiener Determinationsgerät (WDG). Rohwertverteilung insgesamt (oben) und Prozentrangverteilungen in den Altersgruppen (unten).

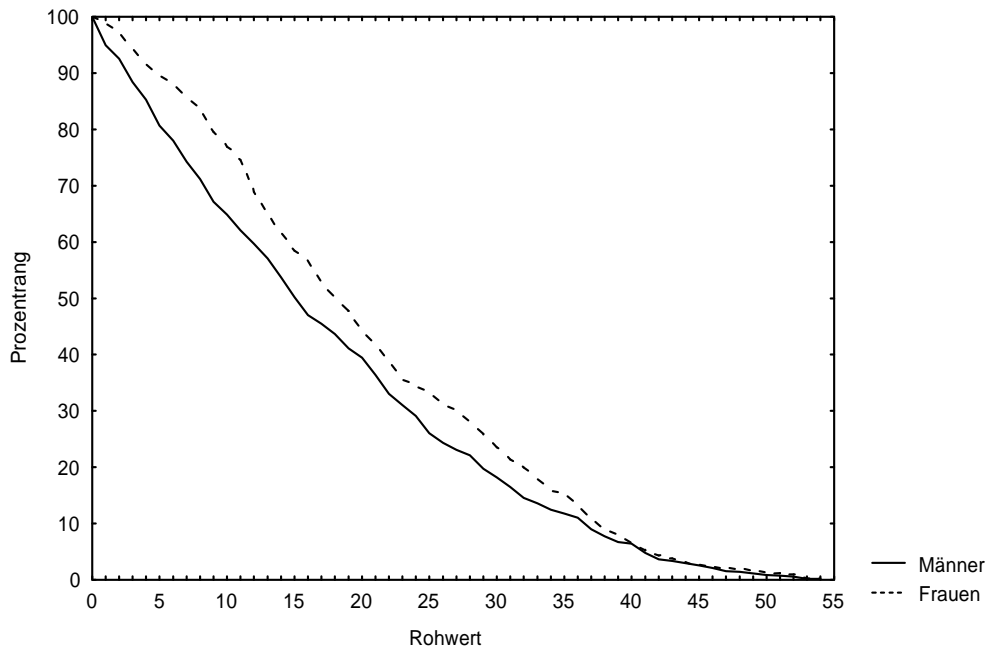
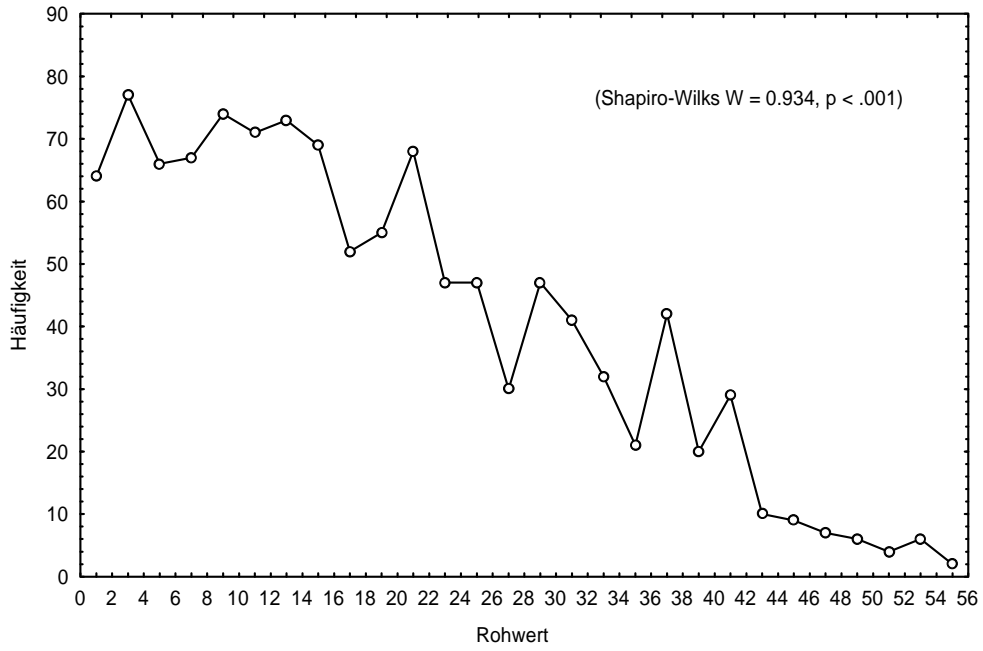


Abbildung A20. Befindlichkeits-Skala (Bf-S). Rohwertverteilung insgesamt (oben) und in den Geschlechtsgruppen (unten).

Anhang B: Die Normentabellen des FNTP

Reihenfolge der Tabellen

- B1 Ravens's Standard Progressive Matrices (SPM)
- B2 Mehrfachwahl-Wortschatz-Intelligenztest (MWT-B)
- B3 Leistungs-Prüfsystem, Untertest 6 (LPS 6)
- B4 Token Test (TOK)
- B5 Zahlen-Verbindungs-Test (ZVT)
- B6 Closure Speed Test (CST)
- B7 Hooper Visual Organization Test (VOT)
- B8 Rey Complex Figure Test – Copy (CFT)
- B9 Rey Complex Figure Test – Memory (CFM)
- B10 Syndrom-Kurztest, Untertestsumme 1, 3, 7 (SKW)
- B11 Syndrom-Kurztest, Untertestsumme 4, 5, 6 (SKO)
- B12 Syndrom-Kurztest, Untertestsumme 2, 8, 9 (SKM)
- B13 Wechsler Memory Scale (WMS), Untertestsumme IV, V, VII
- B14 Tapping Test (TAP)
- a) Finger + Füße
- b) Nur Finger
- B15 Purdue Pegboard (PPB)
- B16 Wiener Reaktionsgerät (WRG) – akustische Reaktion
- B17 Wiener Reaktionsgerät (WRG) – visuelle Reaktion
- B18 Wiener Reaktionsgerät (WRG) – Wahlreaktion
- B19 Wiener Determinationsgerät (WDG) - Aktionsmodus
- B20 Befindlichkeits-Skala (Bf-S)

Tabelle B1. Raven Standard Progressive Matrices (SPM)

IQkorr	T	15-25	26-35	36-45	46-55	56-65	66-75	76-86	PR
137	80	60	60	58	58	56	55	53	100
129	75	58	59	57	57	55	53	50	99
122	70	57	58		55	53	51	45	98
119	68	56	57	56	54	52	50	44	96
116	66			55	53	51	49	43	95
113	64	55	56	54	52	50	48	42	92
110	62		55	53	51	49	46	39	89
107	60	54	54	52	50	48	45	37	84
105	59	53	53		49	47	43	35	82
104	58	52		51	48	46	41	33	79
102	57		52	50	47	45	39	32	76
101	56	51		49	46	44	37	31	73
99	55		51	48	45	43	35	30	69
98	54	50	50	47	44	42	33	28	66
96	53		49	46	43	41	32	27	62
95	52	49	48	45	42	39	31	26	58
94	51		47	44	40	37	30	25	54
92	50	48	46	43	38	35	29	24	50
90	49		45	42	37	33	28		46
89	48	47	44	40	36	31	27	23	42
88	47		43	38	34	29	26	22	38
86	46	46	42	36	32	27	25	21	35
84	45	45	41	35	31	26	23	20	31
83	44	44	40	34	30	25	22	19	27
82	43	43	39	33	29	24	20	18	24
80	42	42	37	32	28	23	18	17	21
78	41	41	35	30	26	22		16	18
77	40	39	33	28	24	21	17	15	16
75	39	38	32	27	23	20	16	14	14
74	38	37	31	26	22	18	15	13	12
72	37	35	29	25	21	17	14	12	10
71	36	34	27	23	20	15	13	11	8
69	35	33	26	21	19	14	12	10	7
68	34	32	24	19	17	13	11	9	6
66	33	31	22	17	15	12	10		5
65	32	30	21	15	13	11	9	8	4
63	31	29	20	14	12	10	8		3
62	30	28	19	13	11	9	7	7	2
59	28	26	18	12	9	8	6		1
56	26	24	17	11	8	7	5	6	0,8
53	24	22	16	10	7	5	4	5	0,5
50	22	21	15	9	6	4	3	4	0,3
42	20	20	14	8	5	2	2	3	0,1
n		105	139	191	267	252	153	54	N = 1161
M		47,2	45,3	41,4	37,7	34,5	29,7	25,8	37,8
SD		7,7	10,8	12,2	12,1	12,7	12,2	10,3	13,1

Durchführungsbedingungen: Maximal 40 Minuten Bearbeitungszeit. Abbruch einer Serie (A-D), wenn 3 Items nacheinander nicht gelöst werden. Zuvor Erklärung der Lösung bei einer falschen Antwort.

IQkorr: Korrigierter IQ für die Anwendung des Tests außerhalb des FNTP-Systems

Tabelle B2. Mehrfachwahl-Wortschatz-Intelligenztest (MWT-B)

T	15-25	26-35	36-45	46-65	66-75	76-85	PR
80	36	37	37	37	37	37	100
75	35	36	36	36	36	36	99
70	34	35					98
68		34	35	35	35	35	96
66	33		34				95
64	32	33		34	34		92
62	31	32	33			34	89
60	30						84
59	29	31		33	33		82
58			32			33	79
57	28	30					76
56				32			73
55	27	29	31		32		69
54						32	66
53	26	28	30	31			62
52	25						58
51		27	29	30	31		54
50	24					31	50
49		26	28	29			46
48	23				30		42
47		25	27	28			38
46	22		26				35
45		24		27	29	30	31
44	21		25				27
43		23		26	28		24
42	20		24	25	27	29	21
41	19	22		24			18
40		21	23		26	28	16
39	18		22	23	25	27	14
38		20	21		24	26	12
37	17		20	22	23	25	10
36	16	19	19	21	22	24	8
35			18	20	21	23	7
34	15	18	17	19	20	22	6
33	14		16			21	5
32	13	17	15	18	19	20	4
31	12		14	17	18	19	3
30	11	15	13	16	17	18	2
28	10	14	12	15	16	17	1
26	9	13		14	15	16	0,8
24	8	12	11	13	14	15	0,5
22	7	11		12	13	14	0,3
20	6	10	10	11	12	13	0,1
n	102	139	190	516	151	54	N=1152
M	24,5	26,7	28,0	29,0	29,8	30,6	28,3
SD	5,4	5,5	5,5	5,3	5,5	5,3	5,6

Tabelle B3. Leistungsprüfsystem, Untertest 6 (LPS 6)

T	15-35	36-55	56-85	PR
80	58	61	70	100
75	53	58	65	99
70	51	55	60	98
68	49	53	55	96
66	47	51	49	95
64	45	49	47	92
62	42	46	45	89
60	39	42	41	84
59	38	41	40	82
58	37	40	39	79
57	36	39	38	76
56	35	37	37	73
55	34	36	35	69
54	33	34	33	66
53	32	33	31	62
52	31	32	30	58
51	30	31	29	54
50	29	30	28	50
49	28	28	26	46
48	27	27	24	42
47	26	26	23	38
46	25	25	22	35
45	23	23	20	31
44	22	22	19	27
43	21	21	18	24
42	20	20	17	21
41	19	19	15	18
40	18	18	13	16
39	17	16	12	14
38	16	14		12
37	15	13	11	10
36	14	12	10	8
35	13	11	9	7
34	12	10	8	6
33	11	9	7	5
32	10	8		4
31	9		6	3
30	8	7		2
28	7	6	5	1
26	6	5		0,8
24	5	4	4	0,5
22	4			0,3
20	3	3	3	0,1
n	230	428	433	N = 1091
M	28,9	29,2	27,9	28,6
SD	10,9	12,8	13,2	12,6

Tabelle B4. Token Test (TOK)

T	15-35	36-65	66-85	PR
80				100
75				99
70				98
68				96
66				95
64				92
62				89
60	0	0	0	84
59				82
58				79
57				76
56			1	73
55				69
54				66
53		1		62
52				58
51			2	54
50				50
49				46
48	1			42
47				38
46		2		35
45			3	31
44				27
43	2	3		24
42		4	4	21
41	3	5		18
40	4	6	5	16
39	5	7		14
38	6	8	6	12
37	7	10	8	10
36	9	12	10	8
35	12	15	13	7
34	15	18	16	6
33	18	21	19	5
32	20	24	23	4
31	23	27	26	3
30	26	30	29	2
28	29	33	32	1
26	32	36	35	0,8
24	35	39	38	0,5
22	38	42	41	0,3
20	45	50	50	0,1
n	235	684	203	N = 1122
M	2,3	3,3	3,9	3,2
SD	7,1	7,2	7,5	7,3

Tabelle B5. Zahlen-Verbindungs-Test (ZVT)

T	15-25	26-35	36-45	46-55	56-65	66-75	76-85	PR
80	50	55	60	65	70	75	80	100
75	52	57	63	67	72	79	85	99
70	56	59	66	69	74	83	90	98
68	58	61	68	71	77	86	95	96
66	60	65	70	75	80	90	100	95
64	62	67	72	77	82	95	110	92
62	65	70	75	80	85	100	120	89
60	72	75	80	85	95	105	135	84
59	74	78	83	89	98	110	142	82
58	75	80	86	92	102	116	150	79
57	77	82	88	96	106	123	158	76
56	79	83	90	100	108	130	166	73
55	80	85	92	105	115	135	170	69
54	83	87	95	108	120	139	180	66
53	86	89	98	111	125	143	188	62
52	88	92	100	115	130	148	195	58
51	91	95	107	122	135	153	207	54
50	95	98	115	130	140	158	210	50
49	98	103	121	136	147	165	212	46
48	100	108	126	142	154	172	224	42
47	102	112	132	149	160	180	230	38
46	106	118	142	159	172	186	240	35
45	110	125	152	168	183	192	248	31
44	116	133	164	179	192	205	257	27
43	122	141	176	190	201	218	263	24
42	128	150	188	202	212	230	280	21
41	137	165	197	225	227	245	297	18
40	145	180	207	228	242	260	305	16
39	147	185	213	237	259	280	315	14
38	156	190	219	246	276	300	325	12
37	165	195	225	255	295	320	340	10
36	170	217	257	285	322	340	365	8
35	180	240	290	315	340	360	390	7
34	190	250	300	327	355	375	400	6
33	195	260	310	340	370	390	410	5
32	200	302	346	373	398	416	435	4
31	250	344	382	406	426	442	460	3
30	300	386	418	439	454	468	485	2
28	350	428	454	475	482	494	510	1
26	400	470	490	511	510	520	535	0,8
24	450	512	526	546	538	546	560	0,5
22	500	558	565	570	570	572	580	0,3
20	600	600	600	600	600	600	600	0,1
n	105	139	191	265	252	153	54	N = 1159
M	107,9	120,9	150,1	164,6	197,4	228,4	242,6	171,0
SD	74,2	80,7	107,2	114,1	147,5	161,8	130,4	129,0

Tabelle B6. Closure Speed Test (CST)

T	15-25	26-35	36-45	46-55	56-65	66-75	76-85	PR
80	24	22	21	21	19	18	18	100
75	23	21	20	20	18	17	16	99
70	22	20	19	19	17	15	14	98
68	21	19	18	18	16	14	12	96
66	20	18		17	15	13	10	95
64	19		17	16	14	12	9	92
62	18	17	16	15	13	11	8	89
60		16	15	14	12	10	7	84
59	17					9		82
58		15	14	13	11		6	79
57	16			12		8		76
56		14	13		10			73
55	15			11		7	5	69
54		13	12		9			66
53	14			10		6		62
52			11					58
51	13	12		9	8		4	54
50			10			5		50
49	12	11		8	7			46
48			9					42
47	11	10		7	6	4	3	38
46			8					35
45		9		6	5			31
44	10		7					27
43		8			4	3		24
42	9		6	5			2	21
41		7						18
40	8			4				16
39		6						14
38	7		5		3	2		12
37								10
36		5						8
35	6		4	3				7
34							1	6
33		4						5
32	5				2			4
31			3					3
30		3		2		1		2
28	4							1
26			2					0,8
24	3	2						0,5
22								0,3
20	2	1	1	1	1	0	0	0,1
n	105	139	190	266	252	153	54	N = 1159
M	12,9	11,6	10,5	9,2	8,0	6,1	4,7	9,1
SD	4,0	4,6	4,8	4,5	4,2	3,9	3,2	4,8

Tabelle B7. Hooper Visual Organization Test (VOT)

T	15-25	26-35	36-45	46-55	56-65	66-75	76-85	PR
80	30	29	28	28	28	27	26	100
75					27	26	25	99
70	29	28	27	27	26	25	24	98
68					25	24	23	96
66	28	27	26	26	24	23		95
64							22	92
62				25	23	22	21	89
60	27	26	25	24		21	20	84
59								82
58		25			22	20	19	79
57			24	23				76
56					21	19		73
55	26			22			18	69
54		24	23			18		66
53					20		17	62
52	25			21		17	16	58
51		23	22		19			54
50	24					16	15	50
49			21	20	18			46
48	23	22			17	15	14	42
47			20	19		14	13	38
46		21		18	16			35
45	22					13	12	31
44		20	19	17	15	12	11	27
43	21			16		11	10	24
42		19	18		14			21
41			17	15		10	9	18
40	20	18	16	14	13			16
39		17	15	13		9	8	14
38			14		12			12
37	19	16	13	12	11	8	7	10
36		15	12	11	10		6	8
35				10	9	7		7
34	18	14	11				5	6
33				9	8	6		5
32	17	13	10				4	4
31	16	12		8	7			3
30	15	11	9			5		2
28	14	10	8	7	6			1
26	13	9					3	0,8
24	12	8	7	6	5	4		0,5
22	11	7						0,3
20	10	6	6	5	4	3	2	0,1
n	105	138	190	266	253	153	54	N = 1159
M	24,3	22,5	21,3	19,9	18,3	16,3	15,2	19,8
SD	3,4	4,4	4,7	5,0	5,2	5,4	5,4	5,5

Tabelle B8. Rey Complex Figure Test - Copy (CFT)

T	15-25	26-35	36-45	46-55	56-65	66-75	76-85	PR
80	36	36	36	36	36	36	36	100
75							35	99
70				35	35	35	34	98
68	35	35	35					96
66					34	34	33	95
64				34				92
62		34	34				32	89
60	34				33	33	31	84
59				33		32	30	82
58			33		32	31	29	79
57	33	33				30	28	76
56				32				73
55					31	29	27	69
54			32	31				66
53	32	32			30	28	26	62
52			31	30	29	27	25	58
51	31						24	54
50		31	30	29	28	26	23	50
49	30				27	25	22	46
48			29		26	24	21	42
47	29	30	28	28	25	23	20	38
46			27	27	24	21	19	35
45	28	29	26	26	23	20	18	31
44	27	28	25	25	22	19	16	27
43		27		24	21	17	15	24
42	26	26	24	22	19	16	14	21
41	25	25	23	21	17	15	13	18
40	24	24	22	20	15	14	12	16
39	23	23	21	19	14	13	11	14
38		22	20	18	13	12	10	12
37	22	21	19	17	11	10	9	10
36	21	20	18	16	9	8	8	8
35	20	19	17	15	8	7	7	7
34	19	18	15	14	7	6	6	6
33	18	17	13	12	6	5	5	5
32	17	16	12	11				4
31	16	15	11	10	5	4	4	3
30	15	13	10	9				2
28	14	11	9	8				1
26	12	9	8	7	4	3	3	0,8
24	10	7	7	6				0,5
22	8	6	6	5				0,3
20	6	5	4	4	3	2	2	0,1
n	105	140	190	267	253	153	54	N = 1162
M	29,4	29,4	28,5	27,5	25,0	23,1	22,1	26,7
SD	6,0	7,0	6,8	7,6	9,5	9,4	9,1	8,4

Tabelle B9a. Rey Complex Figure Test - Memory (CFM)

T	15-25	26-35	36-45	46-55	56-65	66-75	76-85	PR
80	70	68	66	64	62	60	55	100
75	68	66	63	61	60	57	53	99
70	66	64	60	59	58	53	51	98
68	63	62	58	57	56	50	48	96
66	61	60	57	56	54	48	46	95
64	60	58	55	54	52	45	43	92
62	58	56	53	52	49	42	39	89
60	56	54	51	50	47	39	35	84
59	54	52	49	48	45	35	32	82
58	53	50	46	45	42	33	30	79
57	52	48	44	42	40	31	28	76
56	51	47	42	40	38	29	26	73
55	49	46	40	39	36	28	24	69
54	48	44	38	37	35	26	22	66
53	46	42	36	35	33	24	20	62
52	44	40	34	33	31	22	18	58
51	42	38	32	31	29	21	16	54
50	41	36	31	30	28	20	15	50
49	40	34	29	28	26	18	14	46
48	37	32	27	26	24	17		42
47	35	31	26	25	22	16	13	38
46	33	28	25	23	20	15	12	35
45	31	26	23	22	18	14	11	31
44	29	24	21	20	16	13	10	27
43	27	22	19	18	15	12	9	24
42	26	20	18	17	14	10	8	21
41	24	19	16	15	12	9	7	18
40	23	18	15	13	11	8	6	16
39	22	16	13	12	10	7	5	14
38	20	15	12	11		6		12
37	18	13	11	10	9	5	4	10
36	17	11						8
35	16	10	10	9	8			7
34	15	9		8		4		6
33	14	8	9	7	7		3	5
32	13	7	8		6			4
31	12	6	7	6	5	3		3
30	10	5	6		4			2
28	9	4	5	5	3		2	1
26	7	3	4	4		2		0,8
24	5	2	3	3	2			0,5
22	3		2	2				0,3
20	1	1	1	1	1	1	1	0,1
n	105	140	189	267	253	153	54	N = 1161
M	39,5	35,0	31,4	29,9	26,0	19,6	16,6	28,8
SD	15,6	17,3	15,3	16,3	16,6	15,2	15,4	17,1

Tabelle B9b. Rey Complex Figure Test - Memory Quotient (CQM)

T	15-25	26-35	36-45	46-55	56-65	66-75	76-85	PR
80	230	220	210	210	205	190	180	100
75	220	210	205	205	200	185	175	99
70	196	193	193	185	180	180	170	98
68	194	190	190	175	176	177	158	96
66	192	187	185	170	170	170	152	95
64	190	178	173	165	161	157	140	92
62	187	173	167	160	155	150	134	89
60	177	163	153	149	142	136	122	84
59	173	160	149	145	138	132	115	82
58	170	157	143	138	132	127	110	79
57	167	156	139	135	127	121	102	76
56	159	152	133	129	122	115	106	73
55	157	147	127	124	118	110	91	69
54	152	143	123	120	112	107	85	66
53	149	138	118	114	108	100	79	62
52	147	132	114	110	102	97	74	58
51	141	128	110	107	98	90	67	54
50	137	121	105	103	92	87	60	50
49	132	115	101	101	87	80	55	46
48	127	110	95	95	81	73	49	42
47	122	105	91	91	79	70	45	38
46	117	99	87	87	74	65	40	35
45	112	92	81	81	70	59	36	31
44	106	84	74	74	67	52	30	27
43	101	78	70	70	62	46	27	24
42	94	72	64	64	59	41	24	21
41	90	69	60	60	54	38	20	18
40	84	62	53	53	50	33	17	16
39	80	57	51	51	46	30	15	14
38	73	51	45	45	41	25	13	12
37	69	47	40	40	39	22	12	10
36	65	41	35	35	34	19	11	8
35	59	35	33	33	31	15	10	7
34	52	34	29	29	28	13	9	6
33	50	31	25	25	25	11	8	5
32	47	28	20	20	20	9	7	4
31	40	25	15	15	15	7	6	3
30	37	20	10	10	10	5	5	2
28	37	15	8	8	8	5	4	1
26	31	10	6	6	6	3	3	0,8
24	28	5	4	4	4	2	2	0,5
22	25	2	2	2	2	1	1	0,3
20	20	0	0	0	0	0	0	0,1
n	122	167	229	352	355	257	93	N = 1553
M	134	120	106	105	96	82	65	101
SD	46	52	46	52	52	52	51	53

Tabelle B10. Syndrom-Kurztest, Summe der Untertests 1, 3 und 7 (SKW)

T	15-25	26-35	36-45	46-55	56-65	66-75	76-85	PR
80	18	20	22	24	26	28	30	100
75	20	22	24	26	28	30	32	99
70	22	24	26	28	29	31	34	98
68	24	26	27	29	30	32	36	96
66	26	27	28	30	31	33	38	95
64	29	29	30	32	34	37	40	92
62	31	31	32	34	35	38	41	89
60		32	33		36	39	42	84
59	32	33		35	37	40	44	82
58			34	37	38	41	45	79
57	33	34	35	38	39	43	46	76
56			36	39	40	45	48	73
55	34	35	37	40	41	46	49	69
54		36	38	41	42	47	50	66
53	35	37	39	42	43	48	52	62
52	36	38	40	43	44	49	54	58
51	37	39	41	45	45	50	56	54
50	38	40	42	46	47	51	58	50
49	39	41	43	47	48	52	60	46
48	40	42	44	48	50	53	62	42
47	41	44	46	50	53	56	65	38
46	42	46	48	52	56	59	68	35
45	43	47	51	54	58	62	71	31
44	44	49	54	57	62	66	75	27
43	46	51	57	60	66	70	79	24
42	48	53	61	65	71	76	82	21
41	50	56	66	70	76	82	86	18
40	53	59	71	75	81	88	94	16
39	55	62	76	80	85	94	99	14
38	58	66	80	84	90	100	104	12
37	62	70	85	89	96	106	110	10
36	66	73	89	93	102	111	115	8
35	70	76	93	97	108	116	120	7
34	73	79	97	101	111	120	125	6
33	76	82	100	105	116	125	130	5
32	81	88	103	110	121	130	137	4
31	86	94	106	115	126	135	144	3
30	90	100	110	120	130	140	150	2
28	92	102	112	122	132	142	152	1
26	94	104	114	124	134	144	154	0,8
24	96	106	116	126	136	146	156	0,5
22	98	108	118	128	138	148	158	0,3
20	100	110	120	130	140	150	160	0,1
n	105	138	190	265	252	153	54	N = 1157
M	42,2	47,1	51,2	53,7	57,5	61,5	64,5	53,8
SD	16,5	24,5	28,2	26,1	29,2	27,4	23,4	26,9

Tabelle B11. Syndrom-Kurztest, Summe der Untertests 4, 5 und 6 (SKO)

T	15-25	16-35	36-45	46-55	56-65	66-75	76-85	PR
80	25	29	33	34	34	44	48	99,9
75	29	33	35	36	36	46	52	99,5
70	35	37	38	39	39	49	56	97,7
68	37	39	40	41	41	51	59	96,4
66	38	40	41	43	43	53	62	94,5
64	39	41	42	45	45	55	65	91,9
62	40	42	43	47	47	57	67	88,5
60	41		44	48	49	59	69	84,1
59	42	43	45	49	52	62	71	81,6
58	44	45	47	51	53	64	73	78,8
57	46	47	49	53	56	66	75	75,8
56	48	49	51	55	58	68	77	72,6
55	49	50	53	57	62	71	80	69,2
54	50	51	55	59	63	72	82	65,5
53		52	56	60	64	73	84	61,8
52	51		57	61	66	74	86	57,9
51		53	58	62	67	75	87	54,0
50	52	54	59	63	68	76	88	50,0
49	53	56	61	65	71	80	91	46,0
48	54	58	65	67	75	84	94	42,1
47	55	60	68	70	78	88	97	38,2
46	57	62	71	73	81	93	100	34,5
45	60	65	74	77	85	98	104	30,9
44	62	67	78	81	90	104	109	27,4
43	63	70	82	85	95	110	115	24,2
42	66	72	86	89	98	115	120	21,2
41	69	74	90	94	101	120	125	18,4
40	72	77	94	98	105	125	130	15,9
39	76	81	98	102	111	130	136	13,6
38	80	85	103	106	118	135	142	11,5
37	83	90	110	113	126	140	146	9,7
36	86	95	117	120	134	145	150	8,1
35	90	100	124	127	142	150	154	6,7
34	95	105	130	133	150	155	160	5,5
33	104	113	133	136	152	157	162	4,5
32	113	121	136	139	154	159	164	3,6
31	121	129	139	142	156	161	166	2,9
30	130	135	141	145	158	163	168	2,3
28	134	142	144	148	160	165	170	1,4
26	138	144	148	151	162	167	173	0,8
24	142	146	152	155	164	169	176	0,5
22	146	150	156	160	166	171	178	0,3
20	150	155	160	165	170	175	180	0,1
n	105	138	190	266	252	152	54	N = 1157
M	57,5	63,0	69,9	73,3	82,9	92,3	99,4	75,9
SD	23,4	28,5	32,1	32,3	38,1	37,7	34,3	35,2

Tabelle B12. Syndrom-Kurztest, Summe der Untertests 2, 8 und 9 (SKM)

T	15-25	26-35	36-45	46-55	56-65	66-75	76-85	PR
80	2	2	3	3	4	5	6	99,9
78								99,7
76		3	4	4		6	7	99,5
74	3				5			99,2
72				5				98,6
70		4	5			7	8	97,7
69					6			97,1
68	4			6				96,4
67			6			8	9	95,5
66		5			7			94,5
65	5			7		9	10	93,3
64			7					91,9
63					8	10		90,3
62		6		8			11	88,5
61	6		8					86,4
60					9	11		84,1
59		7		9			12	81,6
58			9					78,8
57	7	8			10	12	13	75,8
56				10				72,6
55			10		11	13		69,2
54	8	9					14	65,5
53				11	12	14	15	61,8
52			11					57,9
51	9	10		12	13	15	16	54,0
50			12				17	50,0
49	10	11		13	14	16		46,0
48			13				18	42,1
47	11	12		14	15	17	19	38,2
46			14					34,5
45	12	13		15	16	18	20	30,9
44			15		17	19	21	27,4
43	13	14		16	18	20		24,2
42			16		19	21	22	21,2
41	14	15		17	20		23	18,4
40	15	16			21	22	24	15,9
39			18	18	22	23		13,6
38	16	17	19	19	23	24	25	11,5
37		18	20	20	24	25	26	9,7
36	17	19	21	21	25	26		8,1
35		20	22	22	26	27	27	6,7
34	18	21	23	23				5,5
33		22			27	28	28	4,5
32			24	24			29	3,6
31	19	23			28	29	30	2,9
30			25	25			31	2,3
28	20	24		26	29	30	32	1,4
26	21	25	26	27		31	33	0,8
24	22	26	27	28	30	32	34	0,5
22	23	27	28	29	31	33	35	0,3
20	24	28	29	30	32	34	36	0,1
n	105	138	190	266	252	153	54	N = 1158
M	9,9	10,9	12,2	12,5	14,4	16,0	16,9	12,8
SD	4,4	5,2	5,4	5,11	6,4	6,1	5,3	5,6

Tabelle B13. Wechsler Memory Scale (WMS)
 (Summe der Untertests IV, V und VII)

T	15-35	36-45	46-65	66-85	PR
80	54	53	51	49	100
75	52	51	49	47	99
70	51	49	47	45	98
68	49	48	46	44	96
66	48	47	45	43	95
64			44	42	92
62	47	46	43	41	89
60	46	45	42	40	84
59	45	44	41	39	82
58	44	43	40	38	79
57		42		37	76
56	43	41	39	36	73
55	42	40	38	35	69
54		39	37	34	66
53	41	38	36	33	62
52	40	37	35	32	58
51	39	36	33	30	54
50	38	34	32	29	50
49	37	33	30	27	46
48	36	32	29	26	42
47	35	31	28	25	38
46	34	30	27	24	35
45	33	28	26	23	31
44	31	27	25	21	27
43	30	26	24	20	24
42	29	24	22	19	21
41	28	23	21	17	18
40	26	22	20	16	16
39	25	20	18	15	14
38	24	19	17	14	12
37	23	18	16	13	10
36	21	17	15		8
35	20	16	14	12	7
34	19			11	6
33	18	15	13	10	5
32	17	14	12	9	4
31	16	13	11	8	3
30	15	12	10	7	2
28	14	11	9	6	1
26	13	10	8	5	0,8
24	12	9	7	4	0,5
22	11		6		0,3
20	10	8	5	3	0,1
n	244	189	518	206	N = 1157
M	36,8	33,6	31,5	28,8	32,5
SD	9,4	10,8	10,7	10,2	10,7

Tabelle B14a. Tapping Test (TAP)

T	15-35	36-65	66-85	PR
80	250	235	215	100
75	240	225	210	99
70	230	220	205	98
68	220	210	200	96
66	215	205	195	95
64	210	200	189	92
62	207	193	184	89
60	196	185	179	84
59	192	180	175	82
58	187	177	170	79
57	185	174	166	76
56	181	172	163	73
55	178	168	160	69
54	175	165	156	66
53	173	161	153	62
52	168	158	150	58
51	167	153	147	54
50	165	150	144	50
49	161	146	139	46
48	158	143	135	42
47	154	140	131	38
46	151	138	128	35
45	148	133	125	31
44	144	130	120	27
43	140	125	116	24
42	135	122	111	21
41	129	120	108	18
40	124	115	104	16
39	120	110	100	14
38	115	105	94	12
37	110	100	88	10
36	100	95	84	8
35	95	85	80	7
34	90	80	75	6
33	85	75	70	5
32	80	70	65	4
31	75	60	60	3
30	70	57	55	2
28	65	54	50	1
26	60	50	45	0,8
24	55	45	40	0,5
22	50	40	35	0,3
20	40	35	30	0,1
n	243	703	205	N = 1151
M	162,0	152,1	142,7	152,5
SD	35,6	37,8	34,9	37,3

Tabelle B14b. Finger-Tapping Test (TFI)

T	15-35	36-65	66-85	PR
80	145	140	135	100
75	140	130	128	99
70	135	125	120	98
68	126	123	117	96
66	124	120	115	95
64	122	116	112	92
62	118	114	108	89
60	115	112	105	84
59	112	111	103	82
58	110	108	102	79
57	108	107	100	76
56	107	106	99	73
55	106	104	97	69
54	105	102	95	66
53	104	100	94	62
52	102	98	92	58
51	100	95	91	54
50	99	93	90	50
49	97	91	87	46
48	96	89	86	42
47	93	87	84	38
46	92	84	83	35
45	91	82	82	31
44	88	79	77	27
43	84	75	73	24
42	82	73	71	21
41	80	71	70	18
40	79	66	66	16
39	77	64	64	14
38	74	63	62	12
37	70	60	60	10
36	67	57	58	8
35	65	54	55	7
34	60	50	53	6
33	55	45	51	5
32	50	41	48	4
31	47	40	45	3
30	44	35	40	2
28	40	30	35	1
26	36	27	30	0,8
24	34	24	25	0,5
22	32	22	20	0,3
20	30	20	10	0,1
n	282	906	330	1518
M	95,8	89,9	87,3	90,5
SD	20,1	22,4	18,8	21,4

Tabelle B15. Purdue Pegboard (PPB)

T	15-35	36-55	56-65	66-75	76-85	PR
80	54	52	47	43	39	100
75	51	49	45	41	37	99
70	48	46	44	40	36	98
68	47	45	42	39	35	96
66	46	44	41	38	34	95
64	45	43	40	36	33	92
62	44	42	39	35	32	89
60	43	41	38	34	31	84
59			37	33	30	82
58	42	40	36	32	29	79
57		39	35		28	76
56	41			31	27	73
55		38	34	30	26	69
54	40	37		29		66
53	39		33	28	25	62
52		36	32		24	58
51	38	35	31	27	23	54
50	37	34			22	50
49	36	33	30	26	21	46
48	35		29		20	42
47		32	28	25		38
46	34	31		24	19	35
45	33	30	27	23	18	31
44	32	29	26	22	17	27
43	31	28	25	21	16	24
42	30	27	24	20	15	21
41	29	26	23	19	14	18
40	27	25	22	18	13	16
39	26	24	21	17	12	14
38	25	23	20	16		12
37	24	21	18	15	11	10
36	22	20	17	14		8
35	21	19	16	13	10	7
34	20	18	15	12		6
33	19	16	13	11	9	5
32	18	14	12	10		4
31	17	13	11	9	8	3
30	16	12	10			2
28	14	11	9	8	7	1
26	12	10				0,8
24	10	9	8	7	6	0,5
22	8	7	6	5	5	0,3
20	6	5	4	3	3	0,1
n	245	456	250	153	53	N = 1157
M	36,0	33,3	30,0	26,1	21,8	31,7
SD	8,5	8,6	8,3	7,9	7,9	9,2

Tabelle B16. Wiener Reaktionsgerät (RT akustisch)

T	15-35	36-65	66-85	PR
80	12	13	14	100
75	14	15	16	99
70	16	17	18	98
68	17	18	19	96
66	18	19	20	95
64	19	20	21	92
62				89
60	20	21	22	84
59				82
58	21	22	23	79
57				76
56		23		73
55	22		24	69
54		24	25	66
53			26	62
52	23	25	27	58
51				54
50	24	26	28	50
49		27		46
48	25	28	29	42
47	26	29	30	38
46		30	31	35
45	27	31	33	31
44		32	34	27
43	28	33	36	24
42		34	37	21
41	29	35	38	18
40	32	38	40	16
39	34	40	46	14
38	36	42	48	12
37	38	44	50	10
36	40	47	52	8
35	41	49	54	7
34	44	53	57	6
33	46	56	60	5
32	48	58	62	4
31	50	60	64	3
30	52	62	66	2
28	54	64	68	1
26	56	66	70	0,8
24	58	68	73	0,5
22	59	69	76	0,3
20	60	70	80	0,1
n	239	699	200	N = 1138
M	25,9	29,8	32,2	29,4
SD	8,4	13,1	14,5	12,7

Tabelle B17. Wiener Reaktionsgerät (RT visuell)

T	15-35	36-65	66-85	PR
80	18	19	20	100
75	19	20	21	99
70	20	21	22	98
68	21	22	23	96
66	22	23	24	95
64				92
62	23	24	25	89
60			26	84
59	24			82
58		25	27	79
57	25	26		76
56				73
55	26	27	28	69
54			29	66
53	27	28	30	62
52			31	58
51		29		54
50	28	30	32	50
49			33	46
48	29	31	35	42
47		32	36	38
46	30	33	37	35
45		35	38	31
44	31	36	39	27
43		37	41	24
42	32	38	42	21
41	33	39	45	18
40	35	41	48	16
39	36	42	50	14
38	38	43	51	12
37	39	45	53	10
36	41	47	55	8
35	42	50	58	7
34	44	52	60	6
33	46	55	63	5
32	48	57	65	4
31	50	59	67	3
30	52	61	69	2
28	54	63	71	1
26	56	65	73	0,8
24	58	67	75	0,5
22	60	70	77	0,3
20	70	75	80	0,1
n	239	700	200	N = 1139
M	29,2	33,3	36,4	33,0
SD	8,0	12,7	14,1	12,4

Tabelle B18. Wiener Reaktionsgerät (RT Wahlreaktion)

T	15-45	46-85	PR
80	25	25	100
75	27	30	99
70	29	31	98
68	31	32	96
66	32	33	95
64	33	34	92
62	34	35	89
60	35	38	84
59	36	39	82
58	37	40	79
57	38	41	76
56	39	42	73
55	40	43	69
54	41	44	66
53	42	45	62
52	43		58
51	44	46	54
50	45		50
49	46	47	46
48	47	49	42
47	49	52	38
46	50	54	35
45	51	56	31
44	53	57	27
43	55	58	24
42	56	60	21
41	57	62	18
40	59	63	16
39	60	65	14
38	61	66	12
37	63	67	10
36	65	68	8
35	67	70	7
34	68	72	6
33	70	74	5
32	72	76	4
31	74	78	3
30	76	80	2
28	78	82	1
26	80	84	0,8
24	82	86	0,5
22	84	88	0,3
20	85	90	0,1
n	414	639	N = 1118
M	46,9	49,5	51,4
SD	11,8	11,9	16,5

Tabelle B19. Wiener Determinationsgerät - Aktionsmodus (WDG)

T	15-35	36-45	46-55	56-65	66-75	76-86	PR
80	465	425	415	415	350	315	99,9
78	460	420	405	405	348	314	99,7
76	455	415	395	395	346	313	99,5
74	450	410	385	390	344	312	99,2
72	440	400	380	380	342	311	98,6
70	435	397	376	370	340	310	97,7
69	430	396	373	360	335	305	97,1
68	425	395	370	350	330	295	96,4
67	420	394	365	345	325	285	95,5
66	415	392	360	340	320	270	94,5
65	410	390	357	335	315	245	93,3
64	405	385	355	330	310	240	91,9
63	400	380	352	325	300	235	90,3
62	395	375	349	320	290	230	88,5
61	392	370	345	315	280	225	86,4
60	390	365	340	310	270	220	84,1
59	385	360	335	305	260	210	81,6
58	376	355	330	300	255	205	78,8
57	367	350	325	290	250	200	75,8
56	362	345	320	280	245	195	72,6
55	359	340	315	275	240	185	69,2
54	354	335	307	265	235	175	65,5
53	350	325	300	255	230	170	61,8
52	345	315	295	250	225	160	57,9
51	335	305	285	245	215	155	54,0
50	330	300	275	235	205	145	50,0
49	325	295	265	220	195	130	46,0
48	320	285	260	205	180	120	42,1
47	315	275	250	195	170	110	38,2
46	310	265	240	190	160	100	34,5
45	300	250	230	180	145	90	30,9
44	290	240	215	175	130	80	27,4
43	280	230	200	160	115	75	24,2
42	270	220	190	140	100	70	21,2
41	260	200	175	130	90	65	18,4
40	240	180	165	115	80	60	15,9
39	235	170	155	100	70	55	13,6
38	230	160	135	85	60	50	11,5
37	225	145	125	65	55	45	9,7
36	220	135	115	55	50	40	8,1
35	210	130	100	40	45	35	6,7
34	195	120	85	35	40	30	5,5
33	180	110	70	31	30	26	4,5
32	170	100	55	28	25	24	3,6
31	145	80	45	25	22	22	2,9
30	140	55	40	22	20	20	2,3
28	115	45	35	20	18	18	1,4
26	80	40	30	18	16	16	0,8
24	60	30	25	16	14	14	0,5
22	50	20	15	13	12	12	0,3
20	45	10	10	10	10	10	0,1
n	227	165	232	245	160	77	N = 1106
M	319,4	279,7	256,6	216,1	184,9	138,4	245,4
SD	72,2	88,1	87,7	92,8	88,5	74,0	100,4

Fehlerverteilung Determinationstest

Variable: DF% (Fehler-Prozent = $F / (R+F)$ mal 100%)

Nach Altersgruppen, Anteil Fehler (%) an den gesamten Reaktionen (Summe Richtige + Falsche)

ALA	N	M	SD
2	108	3,58 %	5,69
3	155	3,72 %	6,48
4	205	4,51 %	7,62
5	316	6,99 %	10,39
6	320	8,07 %	12,00
7	240	10,23 %	11,64
8	96	14,94 %	13,15
Alle	1440	7,34 %	10,66

Korrelation Fehlerprozent mit dem Alter: $r = .27$ $P < .05$

Tabelle B20. Befindlichkeits-Skala (Bf-S)

T	Männer	Frauen	PR
80	0	0	100
75		1	99
70		2	98
68		3	96
66	1	4	95
64	2	5	92
62	3	6	89
60	4	7	84
59		8	82
58	5	9	79
57	6	10	76
56	7	11	73
55	8	12	69
54	10	13	66
53	11	14	62
52	12	15	58
51	14	17	54
50	15	18	50
49	17	19	46
48	19	20	42
47	20	22	38
46	22	24	35
45	23	26	31
44	25	28	27
43	27	30	24
42	28	31	21
41	30	32	18
40	31	34	16
39	32	35	14
38	34	36	12
37	36	37	10
36	38	38	8
35	40	39	7
34	41	40	6
33	42	41	5
32	43	42	4
31	44	43	3
30	45	44	2
28	46	46	1
26	48	48	0,8
24	50	50	0,5
22	52	52	0,3
20	54	54	0,1
n	715	421	N = 1136
M	17,0	18,0	17,9
SD	12,6	12,3	12,5